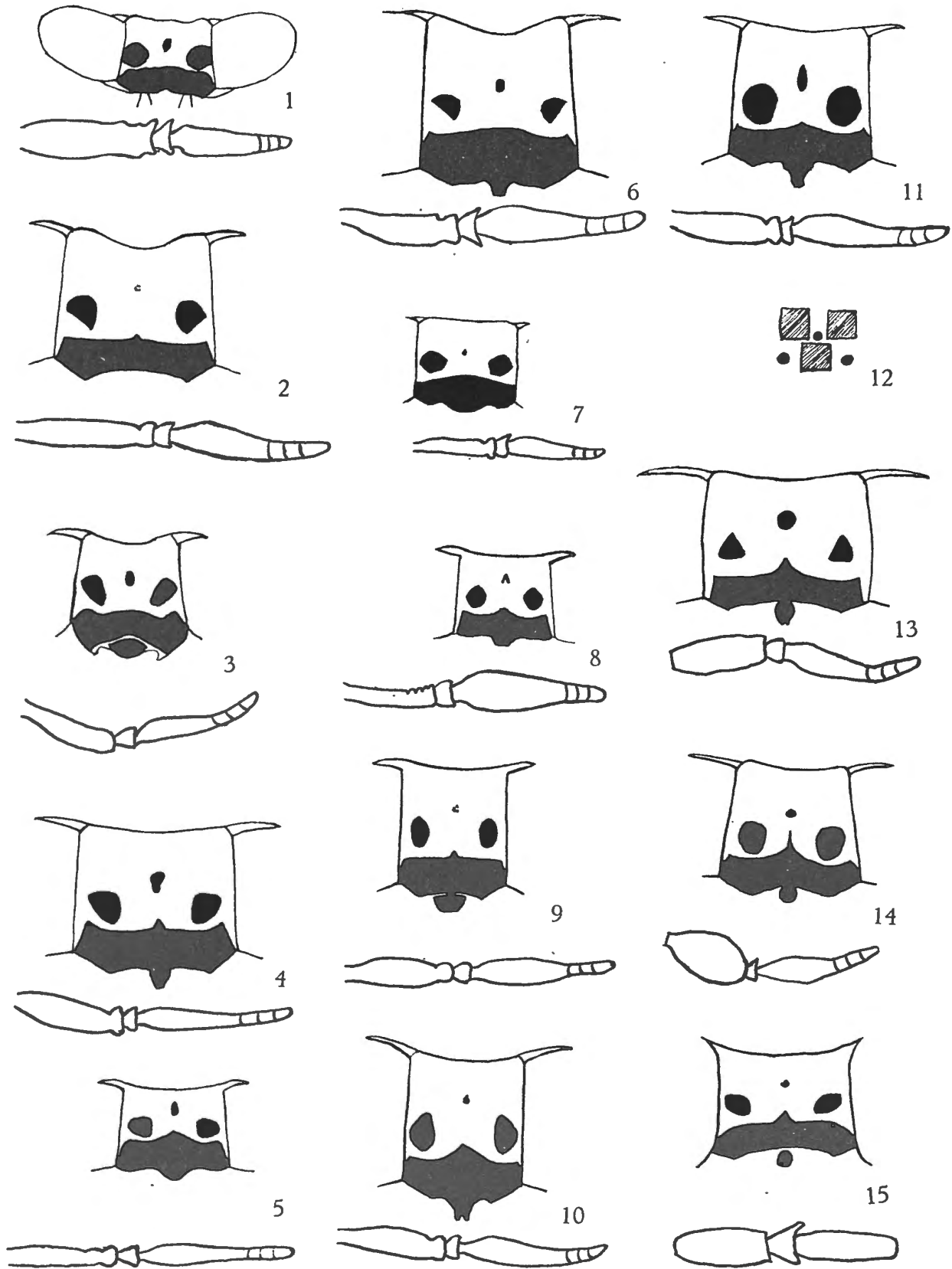


PLANCHE I

EXPLICATION DE LA PLANCHE I.

Fronts et antennes de *Haematopota* ♀♀.

- FIG. 1. — *H. chinensis* OUCHI (d'après OUCHI, 1940).
FIG. 2. — *H. longeantennata* OLSUFJEV (d'après OLSUFJEV, 1937).
FIG. 3. — *H. pavlovskii* HAUSER (d'après HAUSER, 1960).
FIG. 4. — *H. pallens* LOEW.
FIG. 5. — *H. algira* KRÖBER.
FIG. 6. — *H. grandis* MACQUART.
FIG. 7. — *H. fraseri* AUSTEN (d'après AUSTEN, 1925).
FIG. 8. — *H. lambi* VILLENEUVE.
FIG. 9. — *H. variegata pandazisi* KRÖBER.
FIG. 10. — *H. variegata variegata* FABRICIUS.
FIG. 11. — *H. italica* MEIGEN.
FIG. 12. — *H. italica argyrophora* KRÖBER (d'après KRÖBER, 1925).
FIG. 13. — *H. turkestanica* KRÖBER.
FIG. 14. — *H. desertorum* SZILADY.
FIG. 15. — *H. hedini* KRÖBER (d'après KRÖBER, 1934).
-



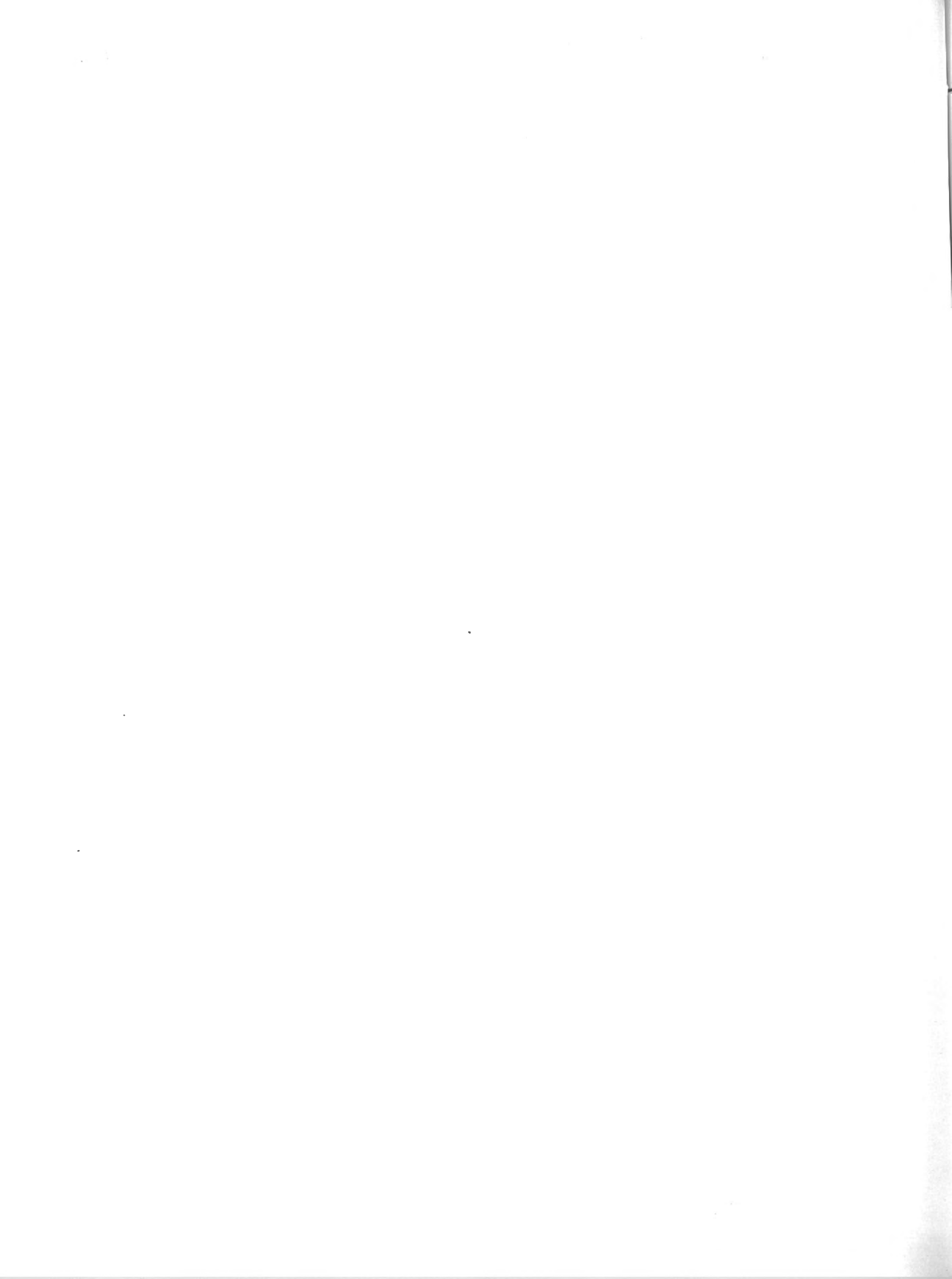


PLANCHE II

EXPLICATION DE LA PLANCHE II.

Fronts et antennes de *Haematopota* ♀♀.

- FIG. 16. — *H. pallidula* KRÖBER (d'après OLSUFJEV, 1937).
FIG. 17. — *H. minuscula* AUSTEN.
FIG. 18. — *H. crassicornis* WAHLBERG.
FIG. 19. — *H. tamerlani* SZILADY.
FIG. 20. — *H. nana* OLSUFJEV.
FIG. 21. — *H. caspica* ABBASSIAN.
FIG. 22. — *H. sinensis* RICARDO.
FIG. 23. — *H. nubilis* HAUSER (d'après GAUZER, 1960).
FIG. 24. — *H. chekiangensis* OUCHI (d'après OUCHI, 1940).
FIG. 25. — *H. olsufjevi* LIU WI-TEH (d'après LIU WI-TEH, 1960).
FIG. 26. — *H. mokanshannensis* OUCHI (d'après OUCHI, 1940).
FIG. 27. — *H. fusicornis* BECKER (d'après SZILADY, 1923).
FIG. 28. — *H. bigoti* GOBERT.
FIG. 29. — *H. bactriana* OLSUFJEV.
FIG. 30. — *H. belligera* AUSTEN.
FIG. 31. — *H. ustulata* KRÖBER (d'après KRÖBER, 1934).
FIG. 32. — *H. sewelli* AUSTEN.
-

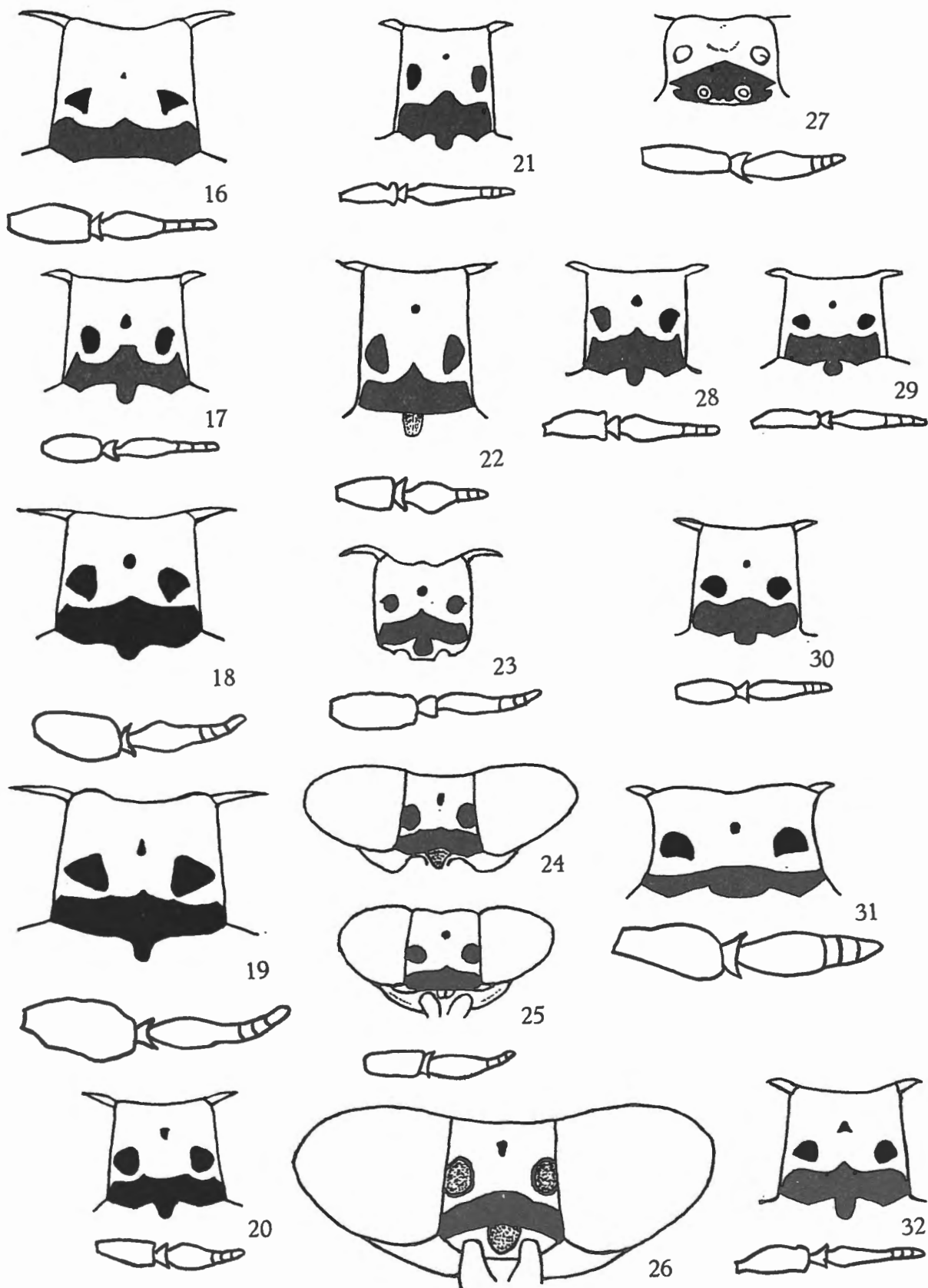


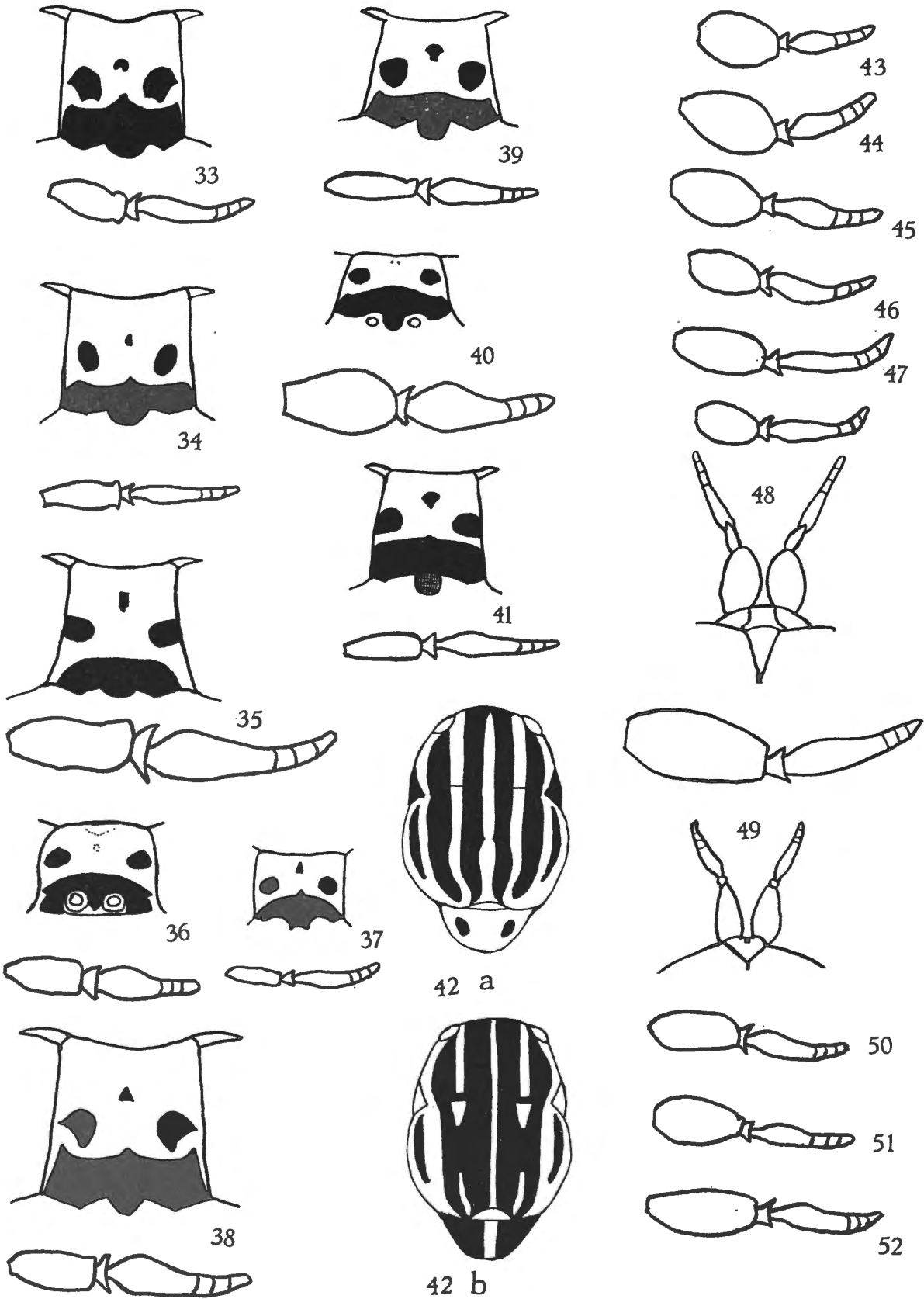
PLANCHE III



EXPLICATION DE LA PLANCHE III.

Fronts et antennes de *Haematopota* ♀♀.

- FIG. 33. — *H. pluvialis pluvialis* LINNÉ.
FIG. 34. — *H. pluvialis elbursiensis* ABBASSIAN.
FIG. 35. — *H. kansuensis* KRÖBER (d'après KRÖBER, 1934).
FIG. 36. — *H. csikii* SZILADY (d'après SZILADY, 1923).
FIG. 37. — *H. latebricola* AUSTEN (d'après AUSTEN, 1925).
FIG. 38. — *H. hispanica* SZILADY.
FIG. 39. — *H. innominata* AUSTEN.
FIG. 40. — *H. pseudolusitanica* SZILADY (d'après SZILADY, 1923).
FIG. 41. — *H. tristis* BIGOT.
FIG. 42. — a) thorax de *H. kemali* SZILADY (d'après SZILADY, 1923).
 b) thorax de *H. pallens* LOEW.
 Antennes de *Haematopota* ♂♂.
FIG. 43. — *H. crassicornis* WAHLBERG.
FIG. 44. — *H. tamerlani* SZILADY.
FIG. 45. — *H. desertorum* SZILADY (d'après OLSUFJEV, 1937).
FIG. 46. — *H. turkestanica* KRÖBER (d'après OLSUFJEV, 1937).
FIG. 47. — *H. pallens* LOEW (d'après OLSUFJEV, 1937).
FIG. 48. — *H. sewelli* AUSTEN (d'après AUSTEN, 1920).
FIG. 49. — *H. innominata* AUSTEN (d'après AUSTEN, 1923).
FIG. 50. — *H. hispanica* SZILADY.
FIG. 51. — *H. pluvialis* LINNÉ.
FIG. 52. — *H. italica* MEIGEN.
-



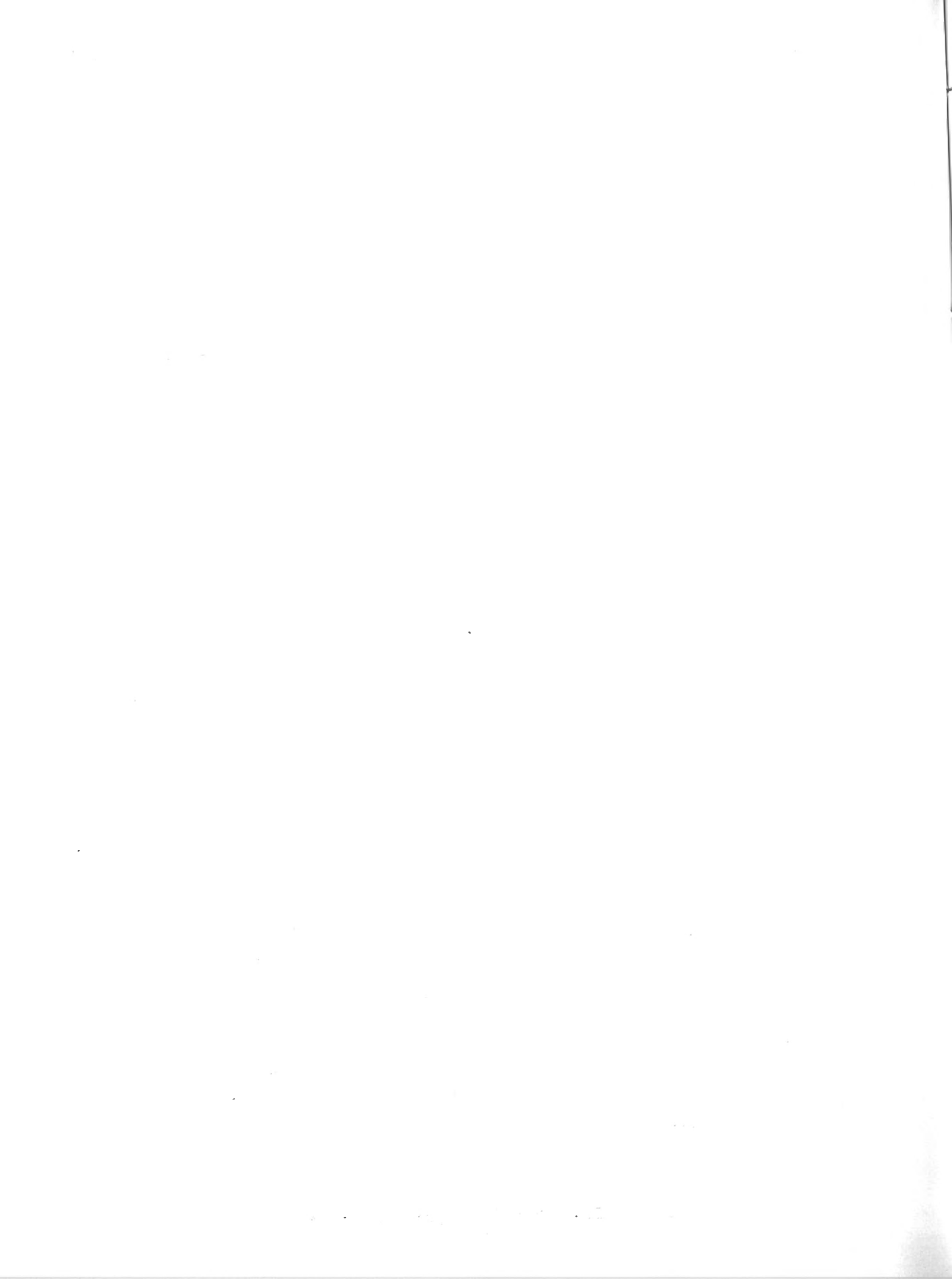
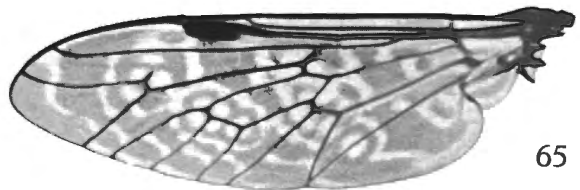
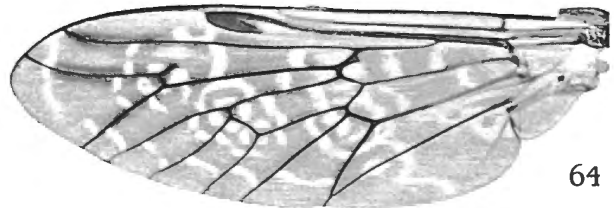
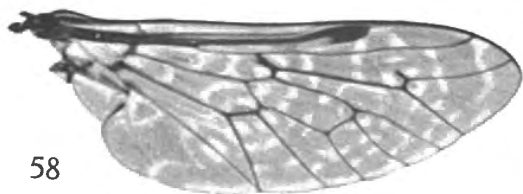
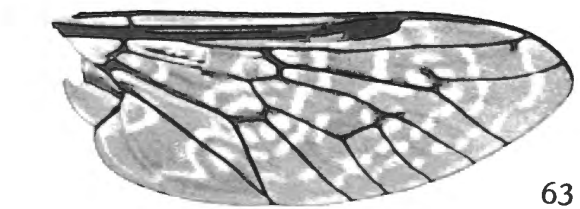
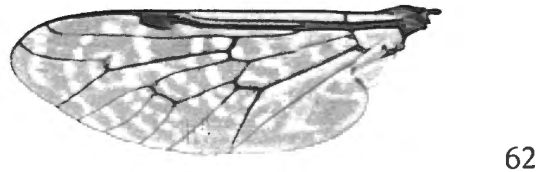
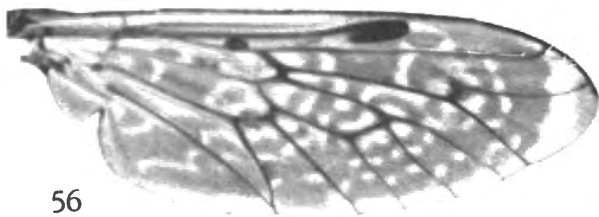
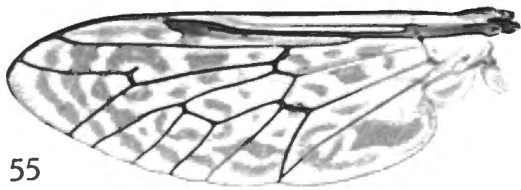
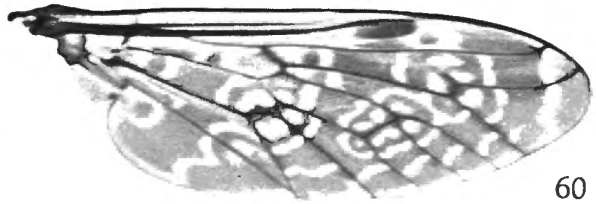
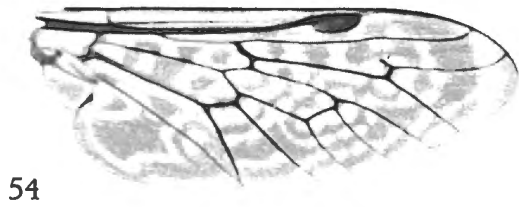
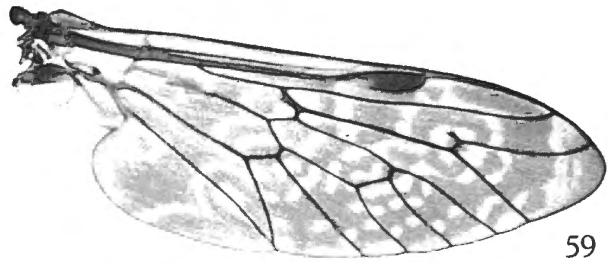
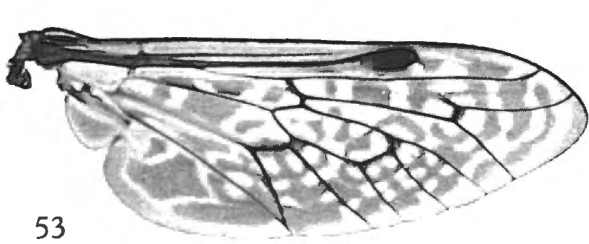


PLANCHE IV

EXPLICATION DE LA PLANCHE IV.

Ailes de *Haematopota* ♀ ♀.

- FIG. 53. — *H. pallens* LOEW.
FIG. 54. — *H. lambi* VILLENEUVE.
FIG. 55. — *H. turkestanica* KRÖBER.
FIG. 56. — *H. desertorum* SZILADY.
FIG. 57. — *H. minuscula* AUSTEN.
FIG. 58. — *H. grandis iranica* ABBASSIAN.
FIG. 59. — *H. algira* KRÖBER.
FIG. 60. — *H. variegata* FABRICIUS.
FIG. 61. — *H. nana* OLSUFJEV.
FIG. 62. — *H. innominata* AUSTEN.
FIG. 63. — *H. grandis* MACQUART.
FIG. 64. — *H. variegata pandazisi* KRÖBER.
FIG. 65. — *H. italica* MEIGEN.
-



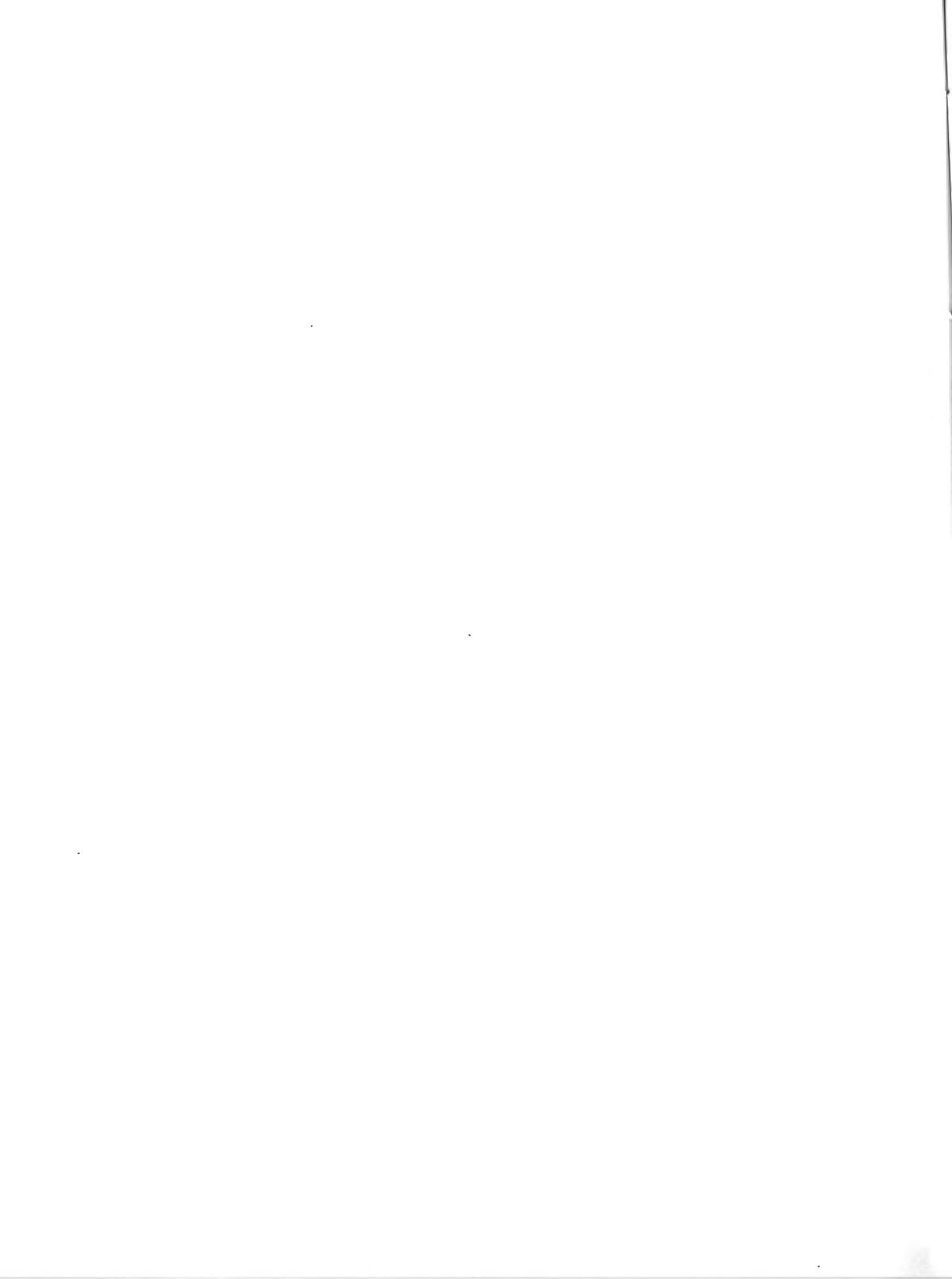


PLANCHE V

EXPLICATION DE LA PLANCHE V.

Ailes de *Haematopota* ♀♀.

FIG. 66. — *H. crassicornis* WAHLBERG.

FIG. 67. — *H. tamerlani* SZILADY.

FIG. 68. — *H. sinensis* RICARDO.

FIG. 69. — *H. tristis* BIGOT.

FIG. 70. — *H. bigoti* GOBERT.

FIG. 71. — *H. bigoti monspellensis* VILLENEUVE.

FIG. 72. — *H. belligera* AUSTEN.

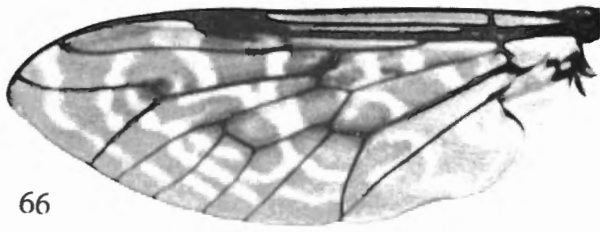
FIG. 73. — *H. sewelli* AUSTEN.

FIG. 74. — *H. pluvialis pluvialis* LINNÉ.

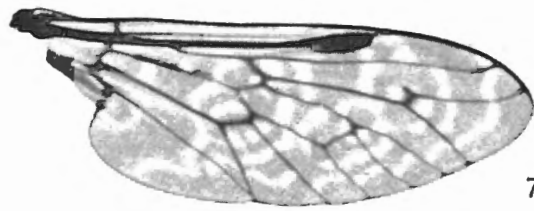
FIG. 75. — *H. caspica* ABBASSIAN.

FIG. 76. — *H. pluvialis elbursiensis* ABBASSIAN.

FIG. 77. — *H. hispanica* SZILADY.



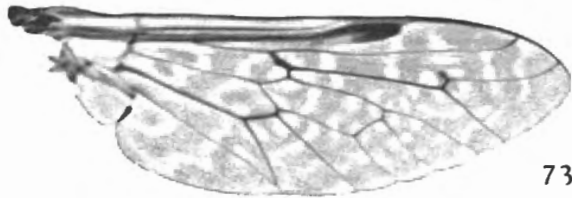
66



72



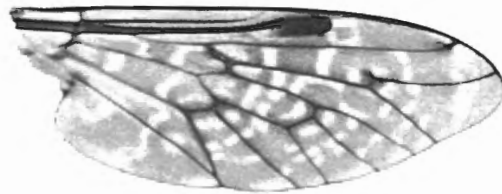
67



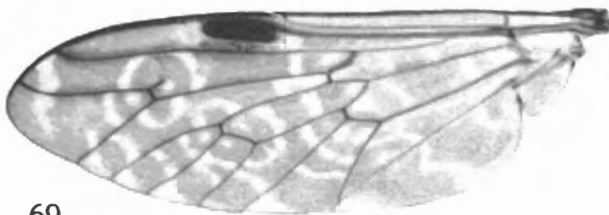
73



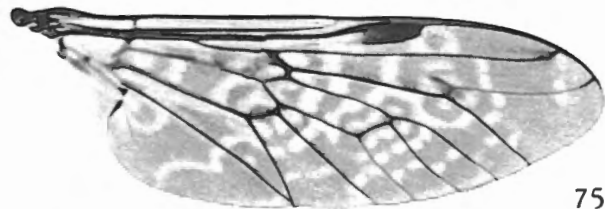
68



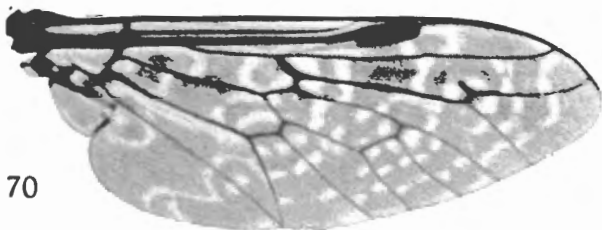
74



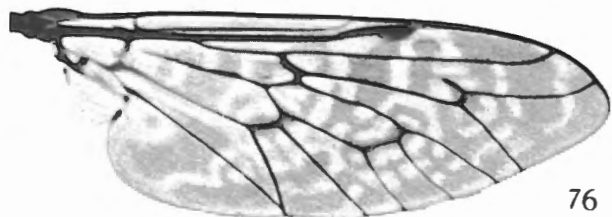
69



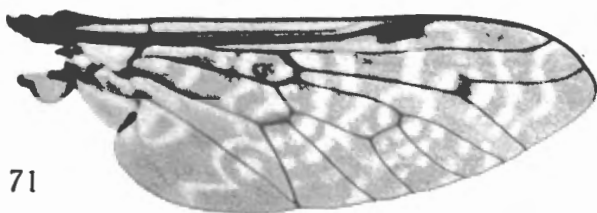
75



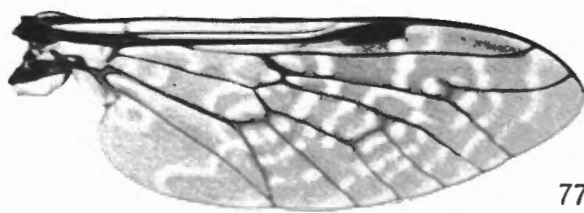
70



76



71



77



PLANCHE VI

EXPLICATION DE LA PLANCHE VI.

Fronts, palpes et antennes de *Hybomitra* ♀♀.

FIG. 78. — *H. caucasi* SZILADY (d'après OLSUFJEV, 1937).

FIG. 79. — *H. stenoselepha* OLSUFJEV (d'après OLSUFJEV, 1937).

FIG. 80. — *H. semipollinosa* OLSUFJEV (d'après OLSUFJEV, 1937).

FIG. 81. — *H. altaica* OLSUFJEV (d'après OLSUFJEV, 1937).

FIG. 82. — *H. stigmoptera* OLSUFJEV (d'après OLSUFJEV, 1937).

FIG. 83. — *H. tatarica* PORTSCHINSKY (d'après OLSUFJEV, 1937).

FIG. 84. — *H. flavipes* GRAVENHORST (d'après OLSUFJEV, 1937).

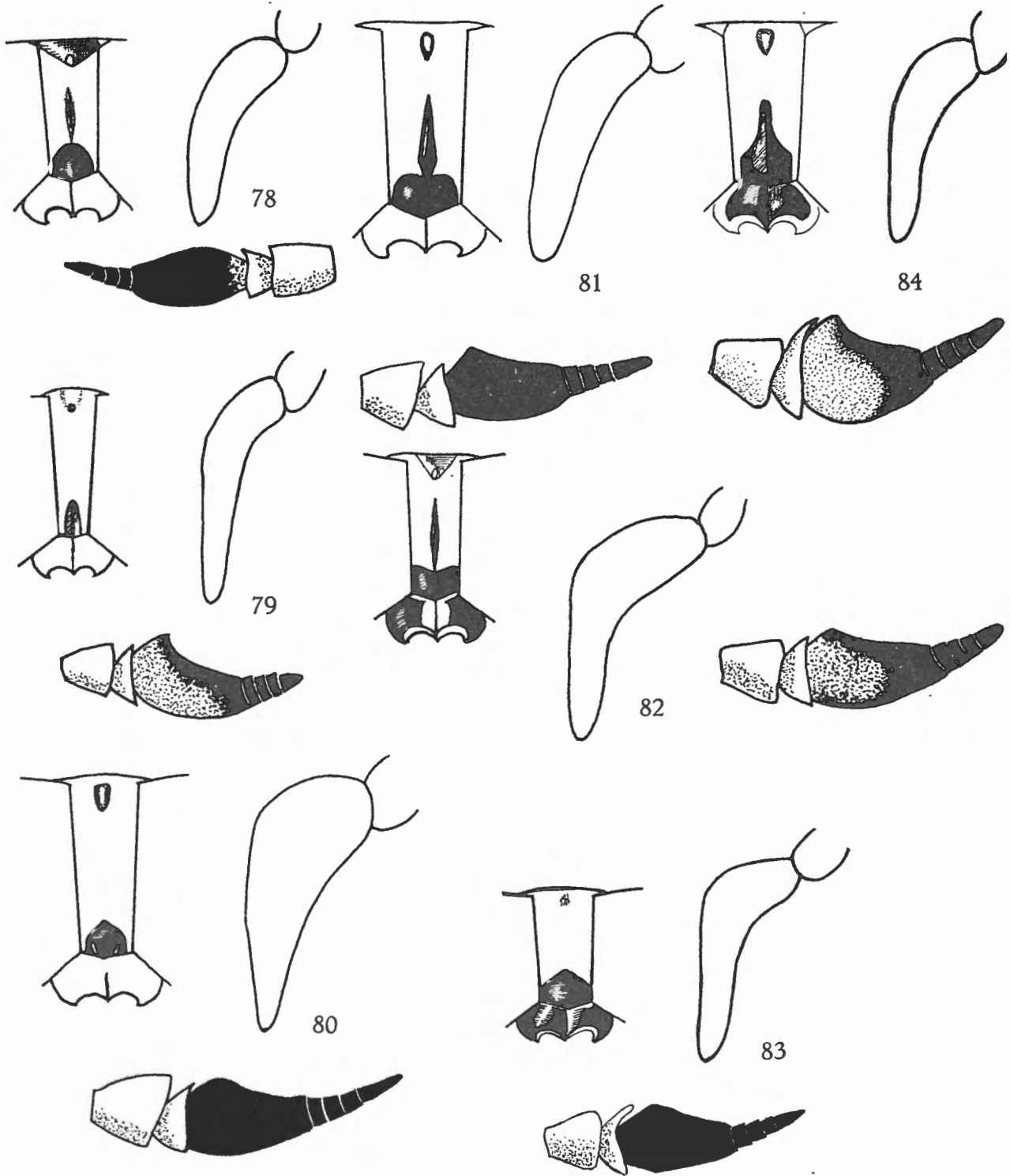




PLANCHE VII

EXPLICATION DE LA PLANCHE VII.

Fronts, palpes et antennes de *Hybomitra* ♀ ♀.

FIG. 85. — *H. tarandina* LINNÉ (d'après OLSUFJEV, 1937).

FIG. 86. — *H. tarandinoides* OLSUFJEV (d'après OLSUFJEV, 1937).

FIG. 87. — *H. polaris* FREY (d'après OLSUFJEV, 1937).

FIG. 88. — *H. borealis* MEIGEN avec palpe du ♂ (d'après OLSUFJEV, 1937).

FIG. 89. — *H. lapponica* WAHLBERG (d'après OLSUFJEV, 1937).

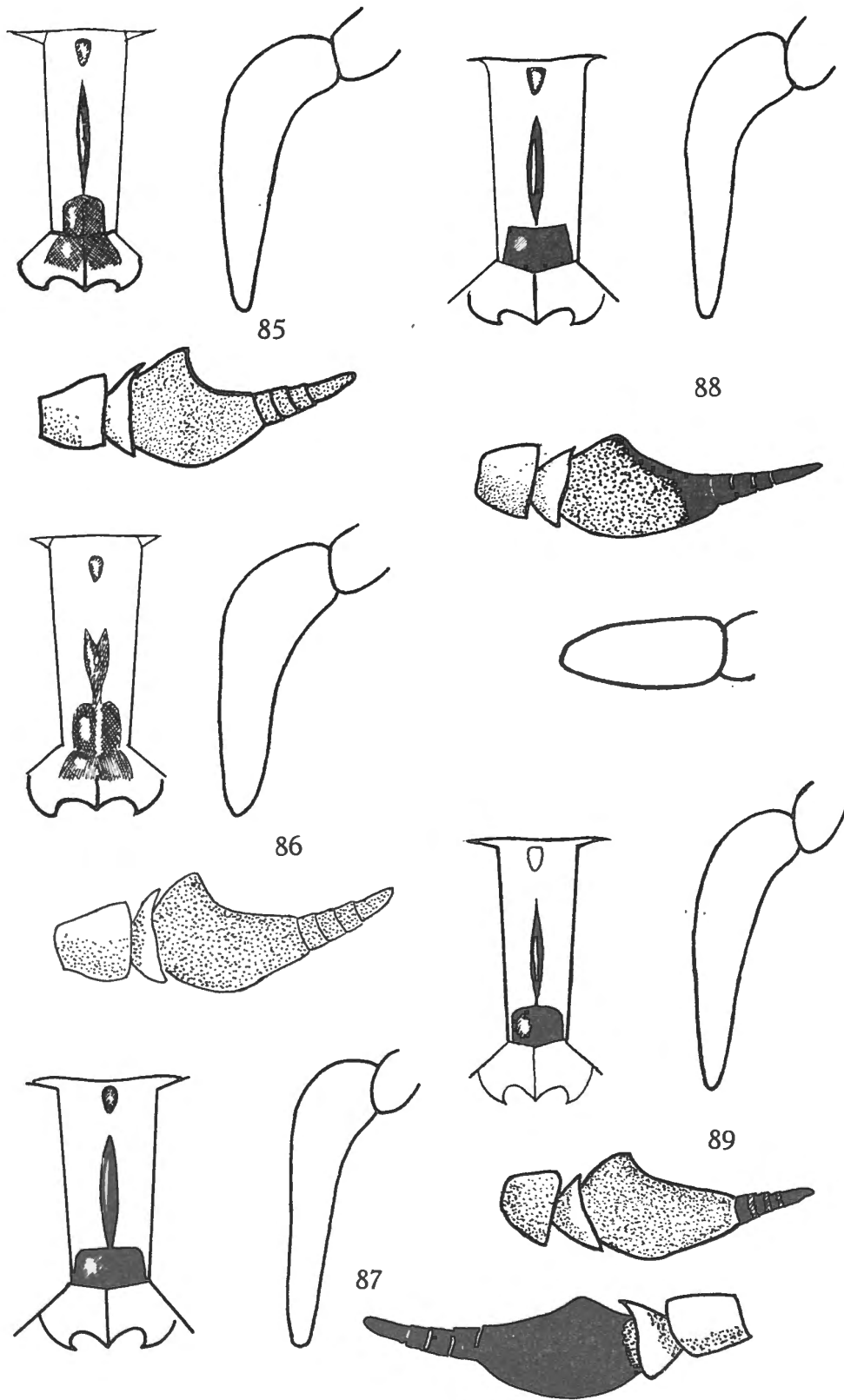




PLANCHE VIII

EXPLICATION DE LA PLANCHE VIII.

Fronts, palpes et antennes de *Hybomitra* ♀ ♀.

FIG. 90. — *H. nigricauda* OLSUFJEV (d'après OLSUFJEV, 1937).

FIG. 91. — *H. olsoi* TAKAHASI (*angustipalpis* OLSUFJEV) (d'après OLSUFJEV, 1937).

FIG. 92. — *H. brevis* LOEW (d'après OLSUFJEV, 1937).

FIG. 93. — *H. ussuriensis* OLSUFJEV avec palpe du ♂ (d'après OLSUFJEV, 1937).

FIG. 94. — *H. lurida* FALLEN avec triangle frontal et bord contigu des yeux du ♂ (d'après OLSUFJEV, 1937).

FIG. 95. — *H. nigricorpa* KRÖBER (d'après OLSUFJEV, 1937).

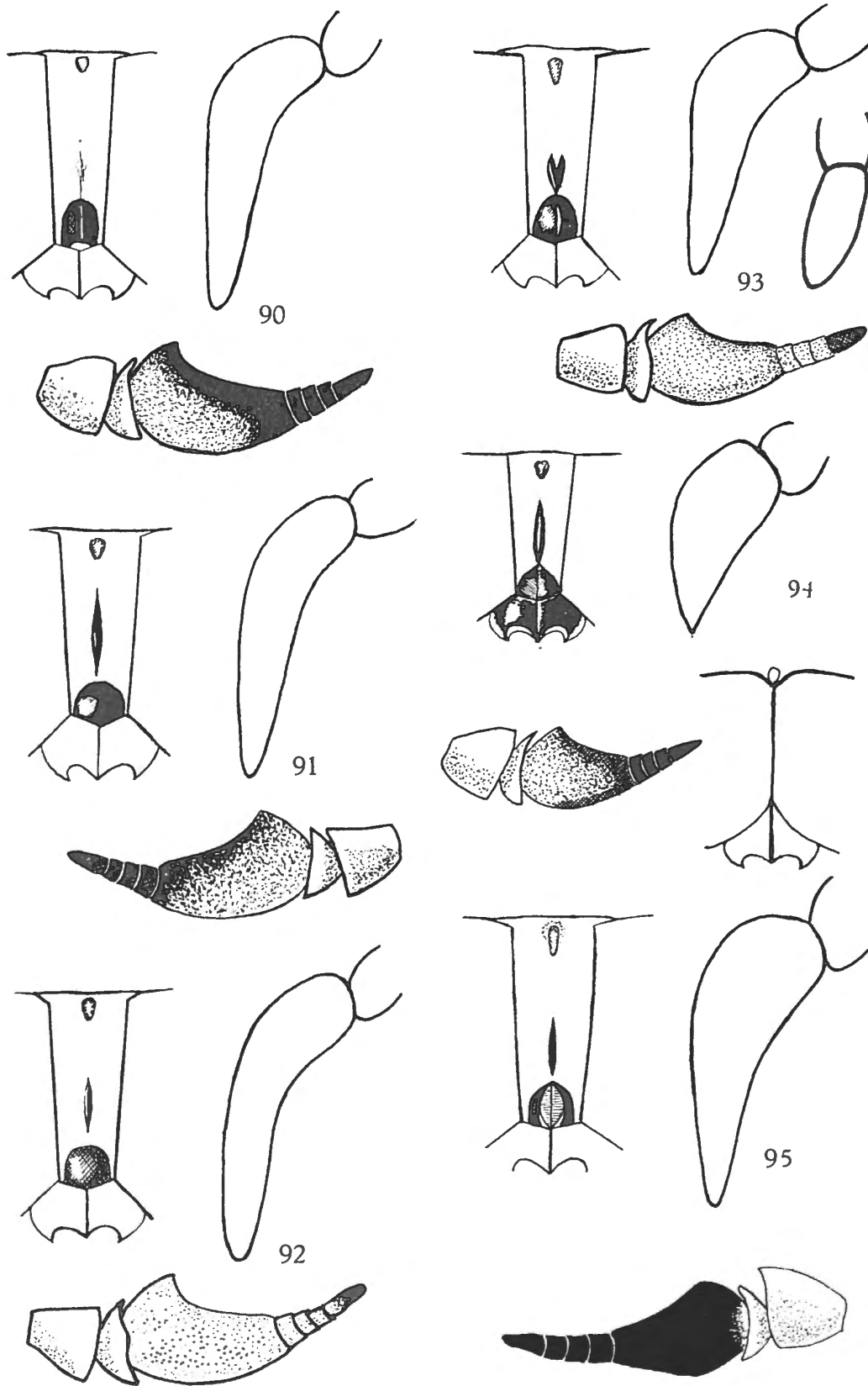




PLANCHE IX

EXPLICATION DE LA PLANCHE IX.

Fronts, palpes et antennes de *Hybomitra* ♀♀.

FIG. 96. — *H. hunnorum* SZILADY (d'après OLSUFJEV, 1937).

FIG. 97. — *H. popovi* OLSUFJEV (d'après OLSUFJEV, 1937).

FIG. 98. — *H. shnitnikovi* OLSUFJEV avec A : palpe et B : antenne du ♂ (d'après OLSUFJEV, 1937).

FIG. 99. — *H. nigricornis* ZETTERSTEDT avec A : palpe et B : antenne du ♂ (d'après OLSUFJEV, 1937).

FIG. 100. — *H. adachii* TAKAGI (d'après TAKAGI, 1941).

FIG. 101. — *H. conformis* FREY (d'après OLSUFJEV, 1937).

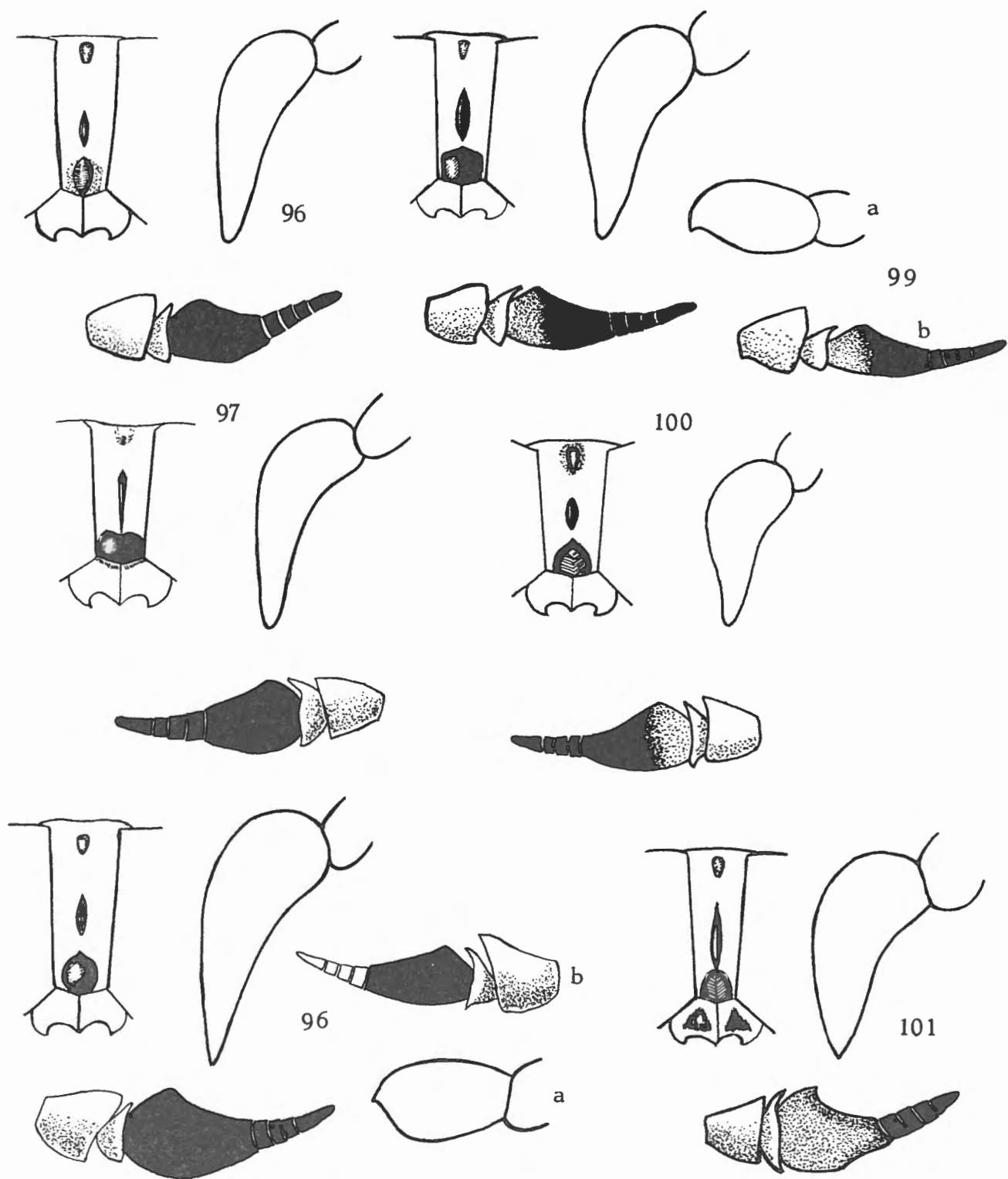




PLANCHE X

EXPLICATION DE LA PLANCHE X.

Fronts, palpes et antennes de *Hybomitra* ♀ ♀.

FIG. 102. — *H. sareptana* SZILADY (d'après OLSUFJEV, 1937).

FIG. 103. — *H. turkeстана* SZILADY avec A : antenne du ♂ (d'après OLSUFJEV, 1937).

FIG. 104. — *H. pavlovskii* OLSUFJEV (d'après OLSUFJEV, 1937).

FIG. 105. — *H. arpadi* SZILADY (d'après OLSUFJEV, 1937).

FIG. 106. — *H. turanica* OLSUFJEV (d'après OLSUFJEV, 1937).

FIG. 107. — *H. tropica* PANZER avec A : triangle frontal et bord contigu des yeux du ♂, B : palpe et C : antenne du ♂ (d'après OLSUFJEV, 1937).

FIG. 108. — *H. erberi erberi* BRAUER (d'après OLSUFJEV, 1937).

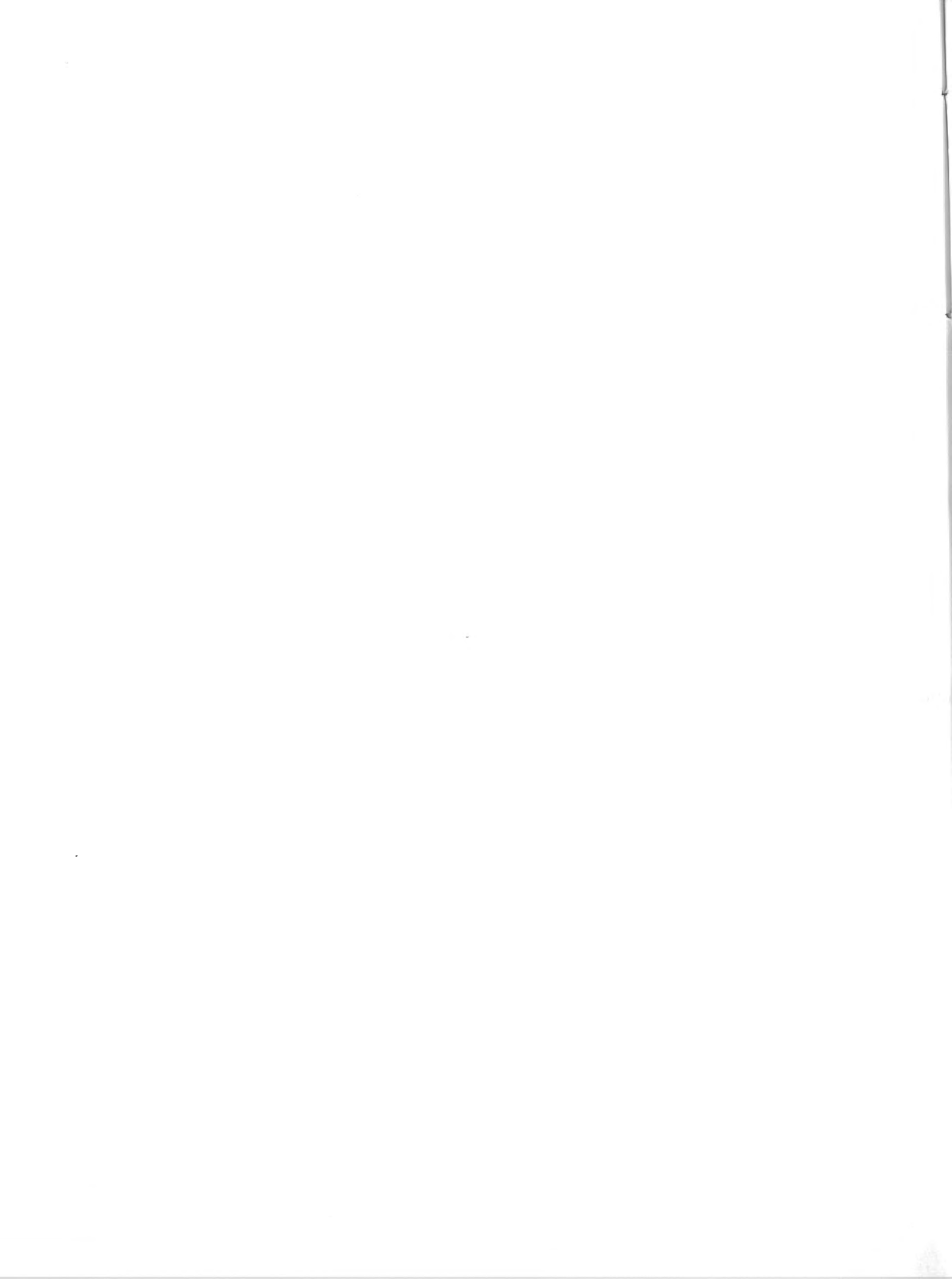


PLANCHE XI

EXPLICATION DE LA PLANCHE XI.

Fronts, palpes et antennes de *Hybomitra* et d'*Atylotus* ♀♀.

FIG. 109. — *H. nigrivitta* OLSUFJEV (d'après OLSUFJEV, 1937).

FIG. 110. — *H. peculiaris* SZILADY (d'après OLSUFJEV, 1937).

FIG. 111. — *H. ukrainica* OLSUFJEV (d'après OLSUFJEV, 1952).

FIG. 112. — *H. (Sipala) acuminata* LOEW (d'après OLSUFJEV, 1937).

FIG. 113. — *A. nigifacies* GOBERT (d'après OLSUFJEV, 1937).

FIG. 114. — *A. rusticus* LINNÉ (d'après OLSUFJEV, 1937).

FIG. 115. — *A. miser* SZILADY (d'après OLSUFJEV, 1937).

FIG. 116. — *A. pallitarsis* OLSUFJEV (d'après OLSUFJEV, 1937).

FIG. 117. — *A. kerteszi* SZILADY (d'après OLSUFJEV, 1937).

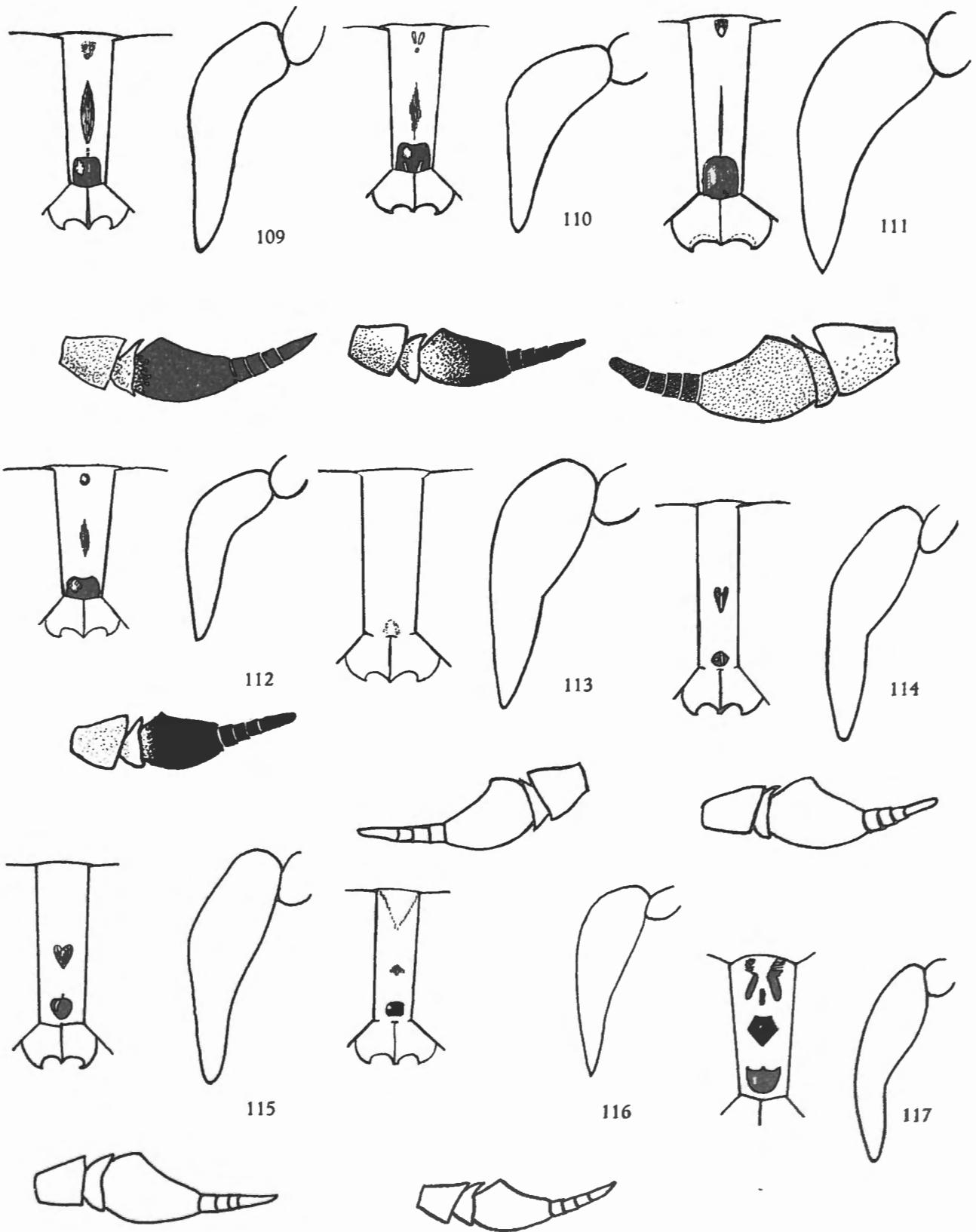




PLANCHE XII

EXPLICATION DE LA PLANCHE XII.

Fronts, palpes et antennes d'*Atylotus* et de *Tabanus* ♀♀.

- FIG. 118. — *A. fulvus* MEIGEN (d'après OLSUFJEV, 1937).
FIG. 119. — *A. loewianus* VILLENEUVE (*znojkoï* OLSUFJEV) (d'après OLSUFJEV, 1937).
FIG. 120. — *A. flavoguttatus* SZILADY (d'après OLSUFJEV, 1937).
FIG. 121. — *A. karybenthinus* SZILADY (d'après OLSUFJEV, 1937).
FIG. 122. — *A. chodukini* OLSUFJEV (d'après OLSUFJEV, 1952).
FIG. 123. — *T. argenteomaculatus* KRÖBER (d'après OLSUFJEV, 1937).
FIG. 124. — *T. anthrax* OLSUFJEV (d'après OLSUFJEV, 1937).
FIG. 125. — *T. subparadoxus* OLSUFJEV (*morio* OLSUFJEV) (d'après OLSUFJEV, 1937).
-

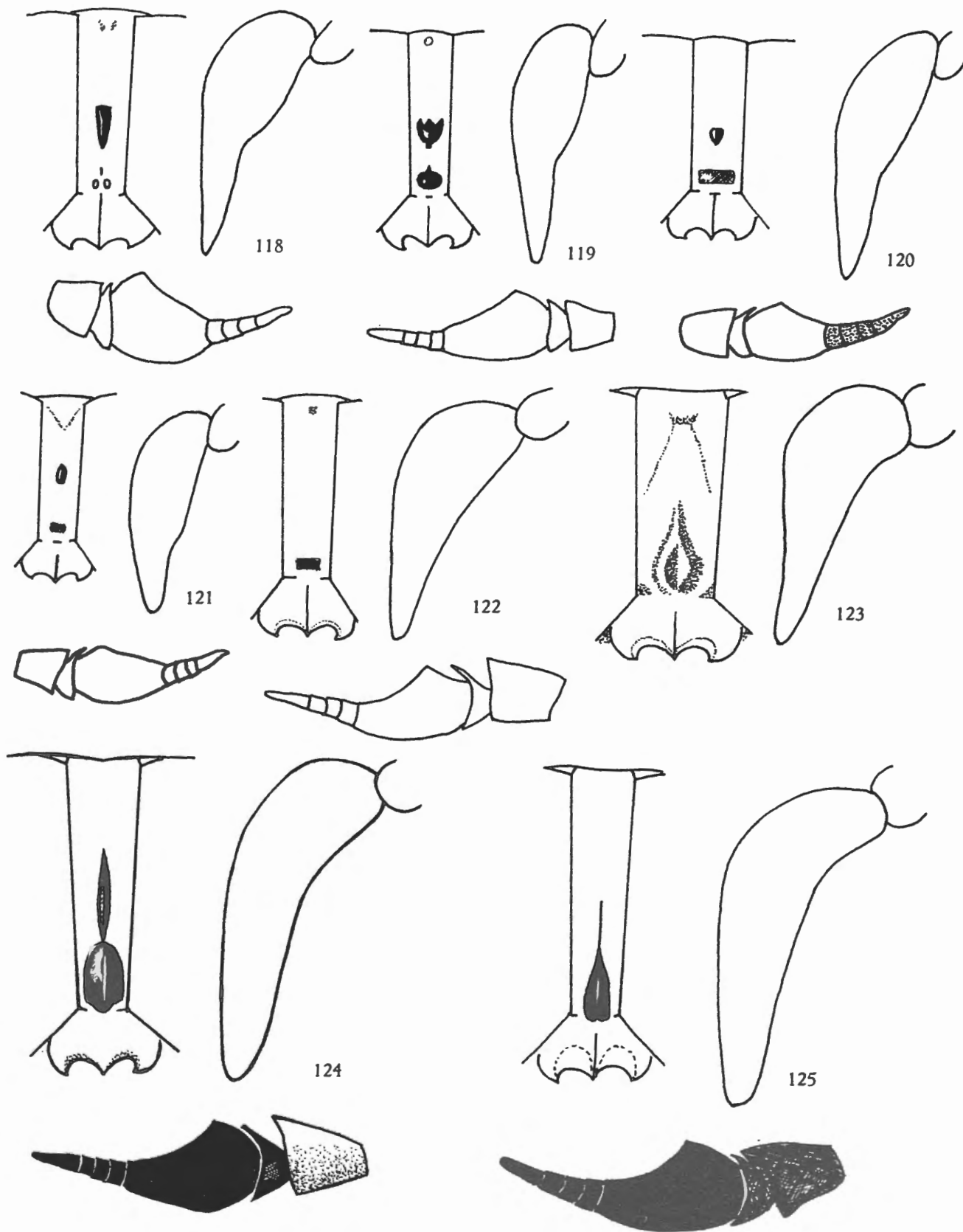




PLANCHE XIII

EXPLICATION DE LA PLANCHE XIII.

Fronts, palpes et antennes de *Tabanus* ♀♀.

FIG. 126. — *T. swiridowi* PORTSCHINSKY (d'après OLSUFJEV, 1937).

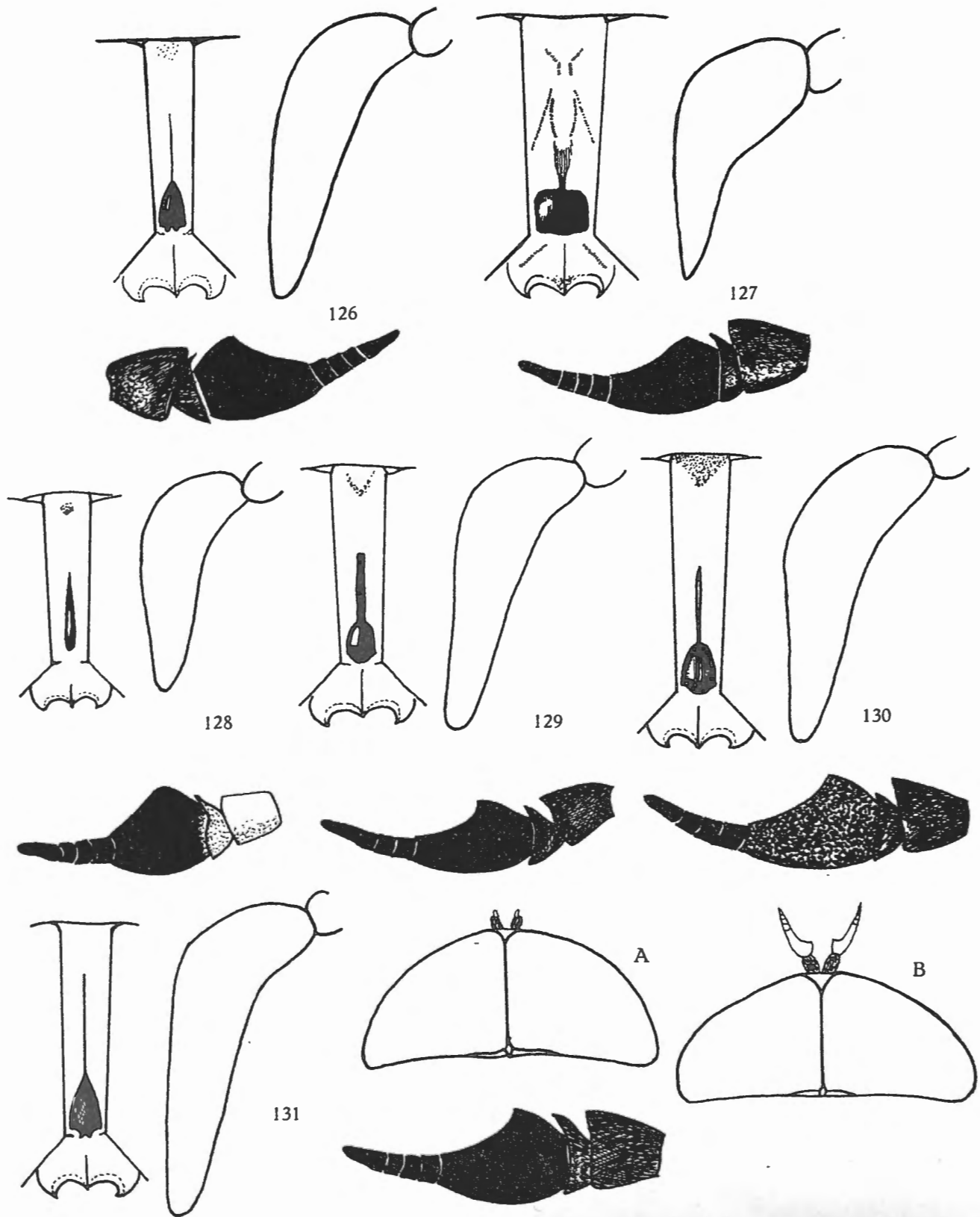
FIG. 127. — *T. grandis* SZILADY (d'après OLSUFJEV, 1937).

FIG. 128. — *T. rohdendorfi* OLSUFJEV (d'après OLSUFJEV, 1937).

FIG. 129. — *T. semiargenteus* OLSUFJEV (d'après OLSUFJEV, 1937).

FIG. 130. — *T. capito* OLSUFJEV (d'après OLSUFJEV, 1937).

FIG. 131. — *T. portschinskii* OLSUFJEV avec A : tête du ♂ et B : tête de *T. spodopterus* MEIGEN (d'après OLSUFJEV, 1937).



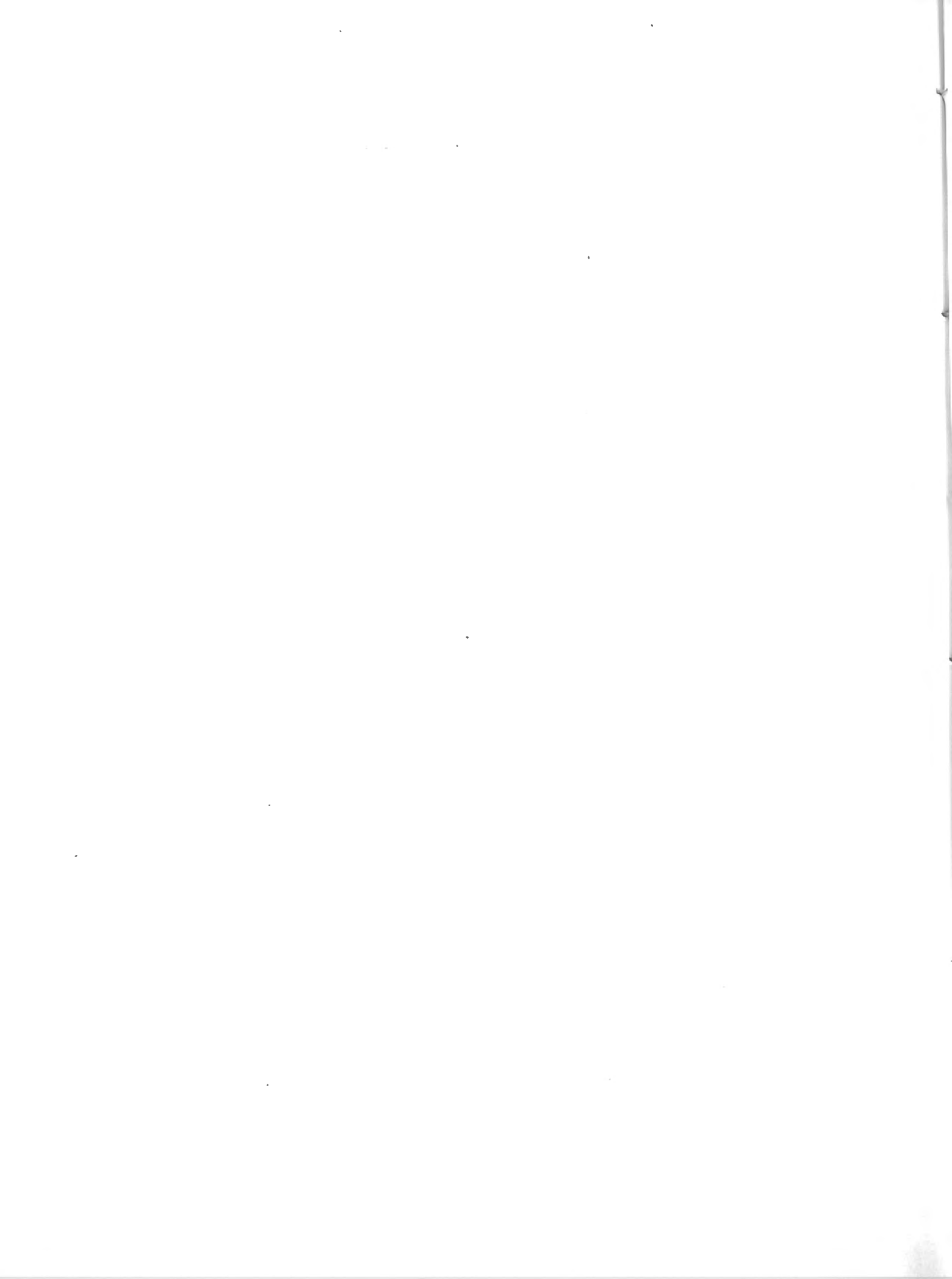
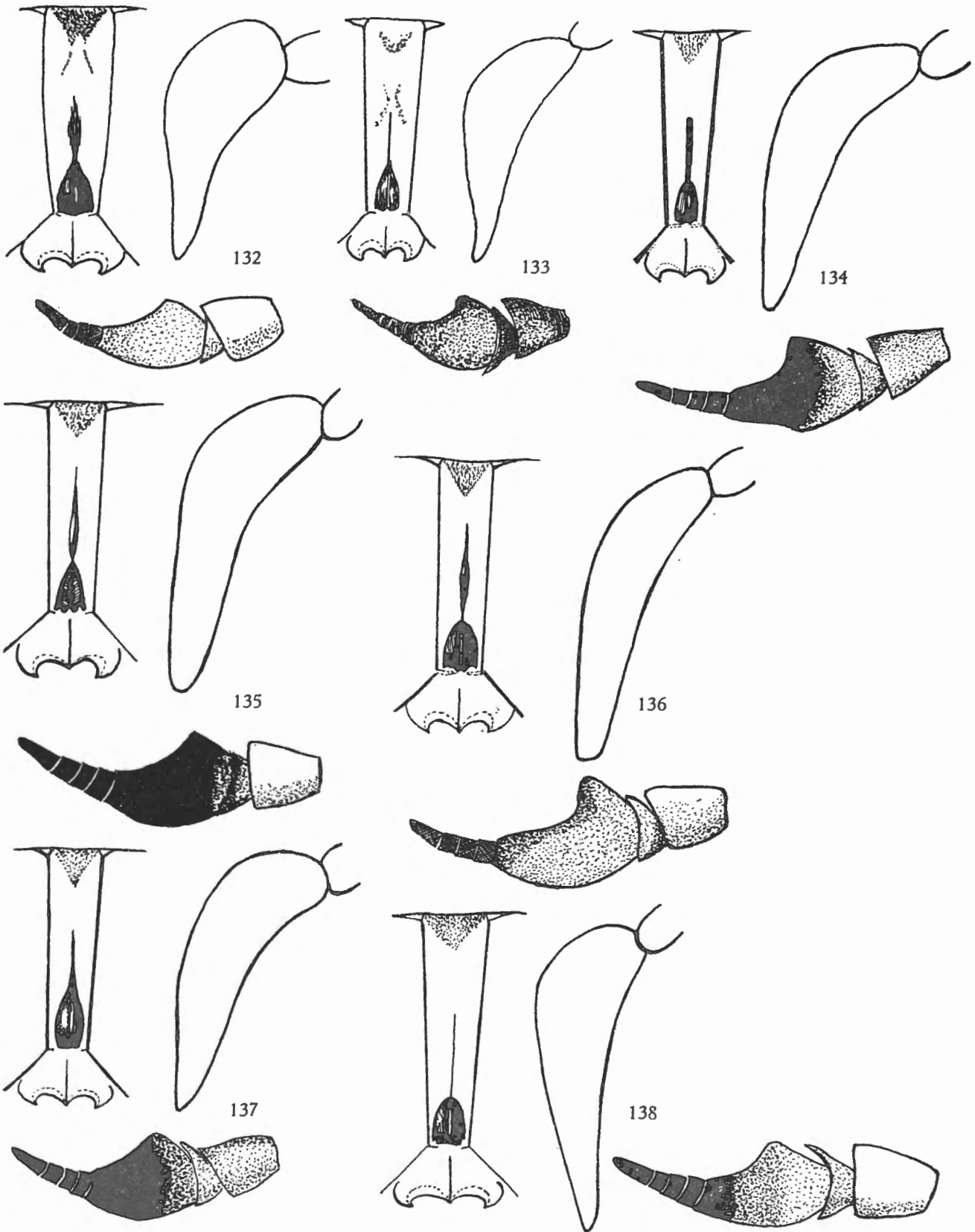


PLANCHE XIV

EXPLICATION DE LA PLANCHE XIV.

Fronts, palpes et antennes de *Tabanus* ♀♀.

- FIG. 132. — *T. atropathenicus* OLSUFJEV (d'après OLSUFJEV, 1937).
FIG. 133. — *T. olsufjevi* GAUZER (d'après GAUZER, 1960).
FIG. 134. — *T. sudeticus* ZELLER (d'après OLSUFJEV, 1937).
FIG. 135. — *T. bovinus* LINNÉ (d'après OLSUFJEV, 1937).
FIG. 136. — *T. pleskei* KRÖBER (d'après OLSUFJEV, 1937).
FIG. 137. — *T. tinctus* WALKER (*eggeri* SCHINER) (d'après OLSUFJEV, 1937).
FIG. 138. — *T. mixtus* SZILADY (d'après OLSUFJEV, 1937).
-



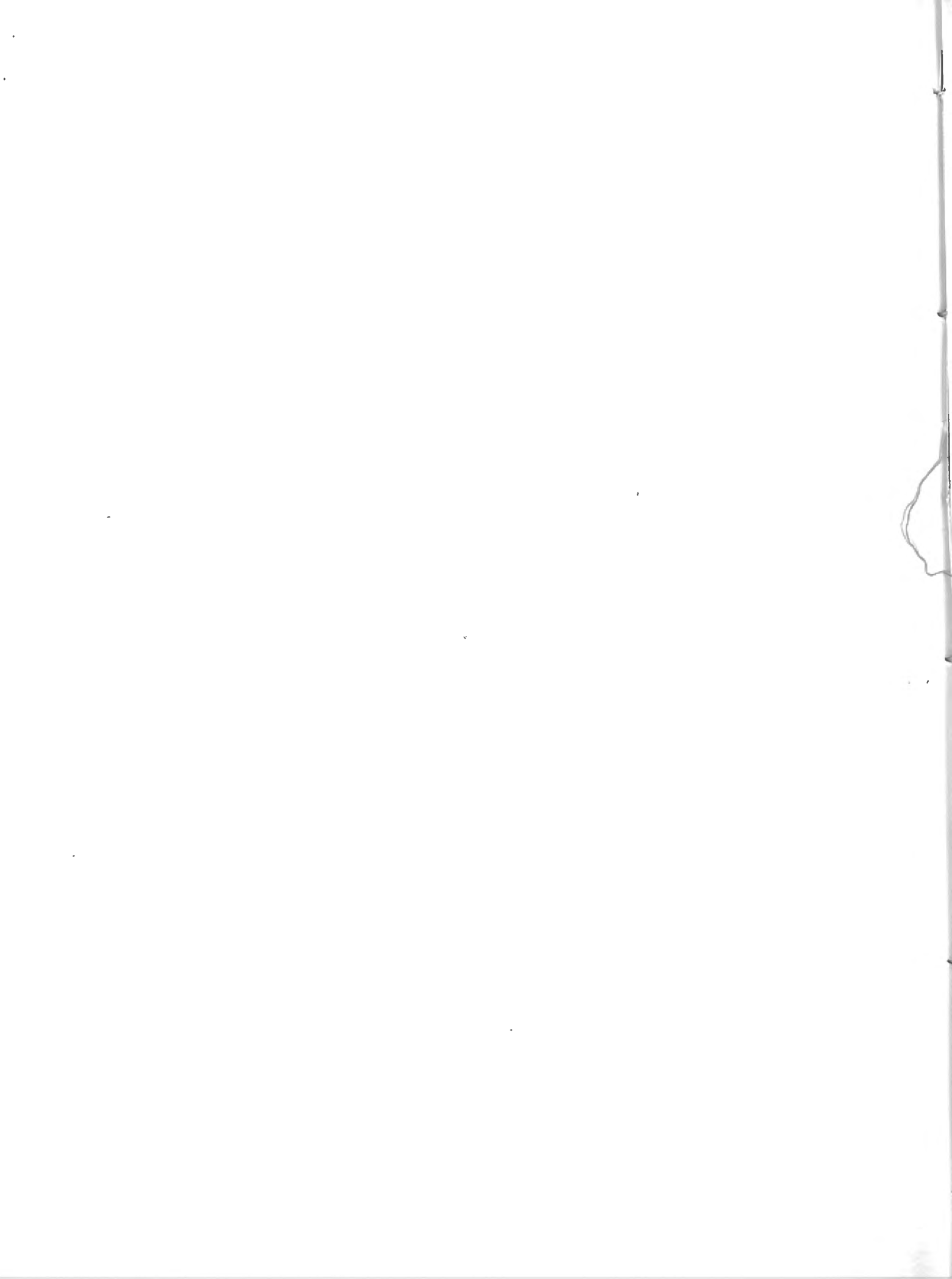
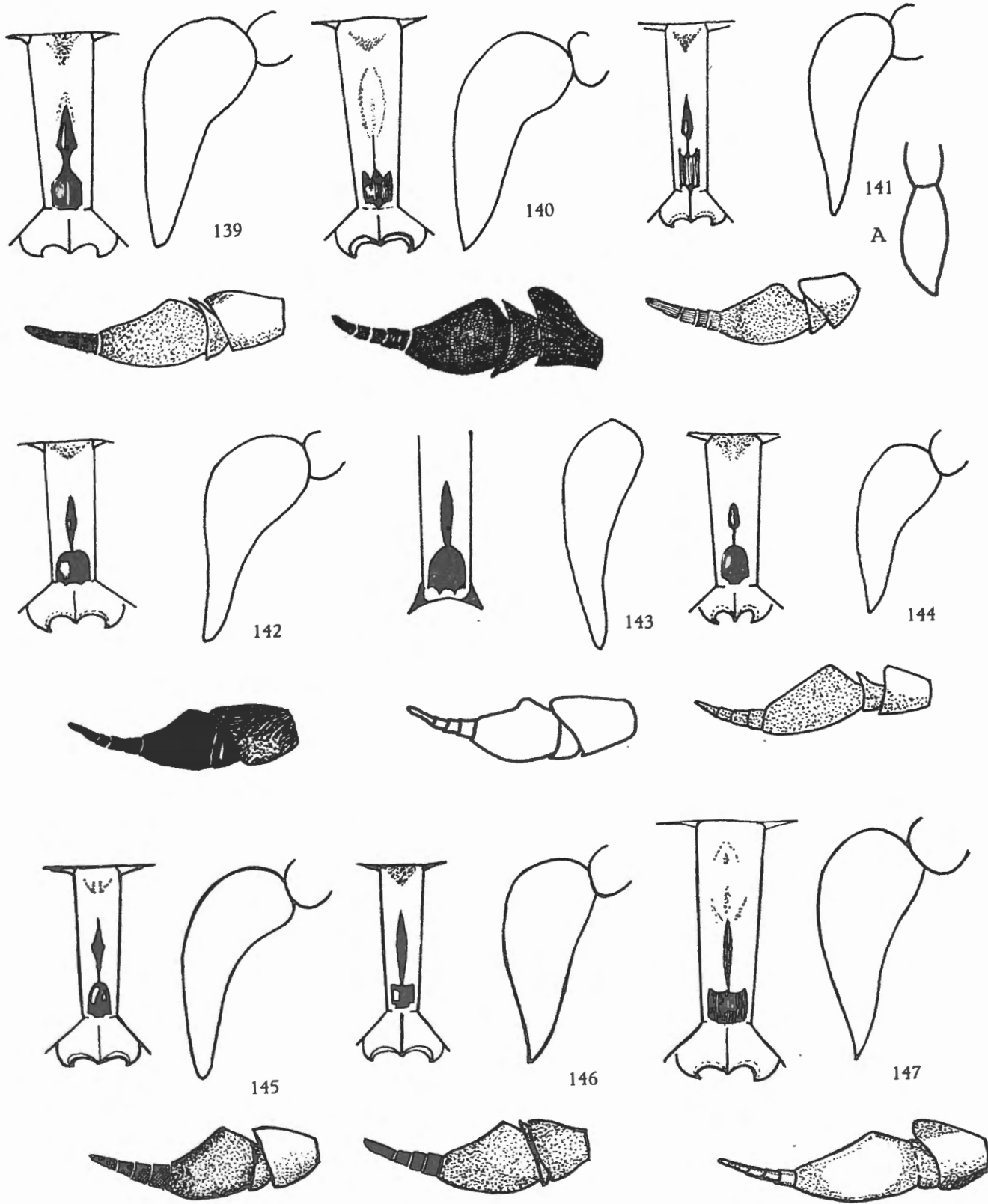


PLANCHE XV

EXPLICATION DE LA PLANCHE XV.

Fronts, palpes et antennes de *Tabanus* ♀ ♀ :

- FIG. 139. — *T. spectabilis* LOEW (d'après OLSUFJEV, 1937).
FIG. 140. — *T. infestus* BOGATSHEV et SAMEDOV (d'après GAUZER, 1960).
FIG. 141. — *T. regularis* JAENNICKE avec A : palpe du ♂ (d'après OLSUFJEV, 1937).
FIG. 142. — *T. armeniacus* KRÖBER (d'après OLSUFJEV, 1937).
FIG. 143. — *T. postvelutinus* MOUCHA (*velutinus* KRÖBER) (d'après KRÖBER, 1936).
FIG. 144. — *T. geminus* SZILADY (d'après OLSUFJEV, 1937).
FIG. 145. — *T. miki* BRAUER (d'après OLSUFJEV, 1937).
FIG. 146. — *T. indrae* GAUZER (d'après GAUZER, 1939).
FIG. 147. — *T. vappa* BOGATSHEV et SAMEDOV (d'après GAUZER, 1960).
-



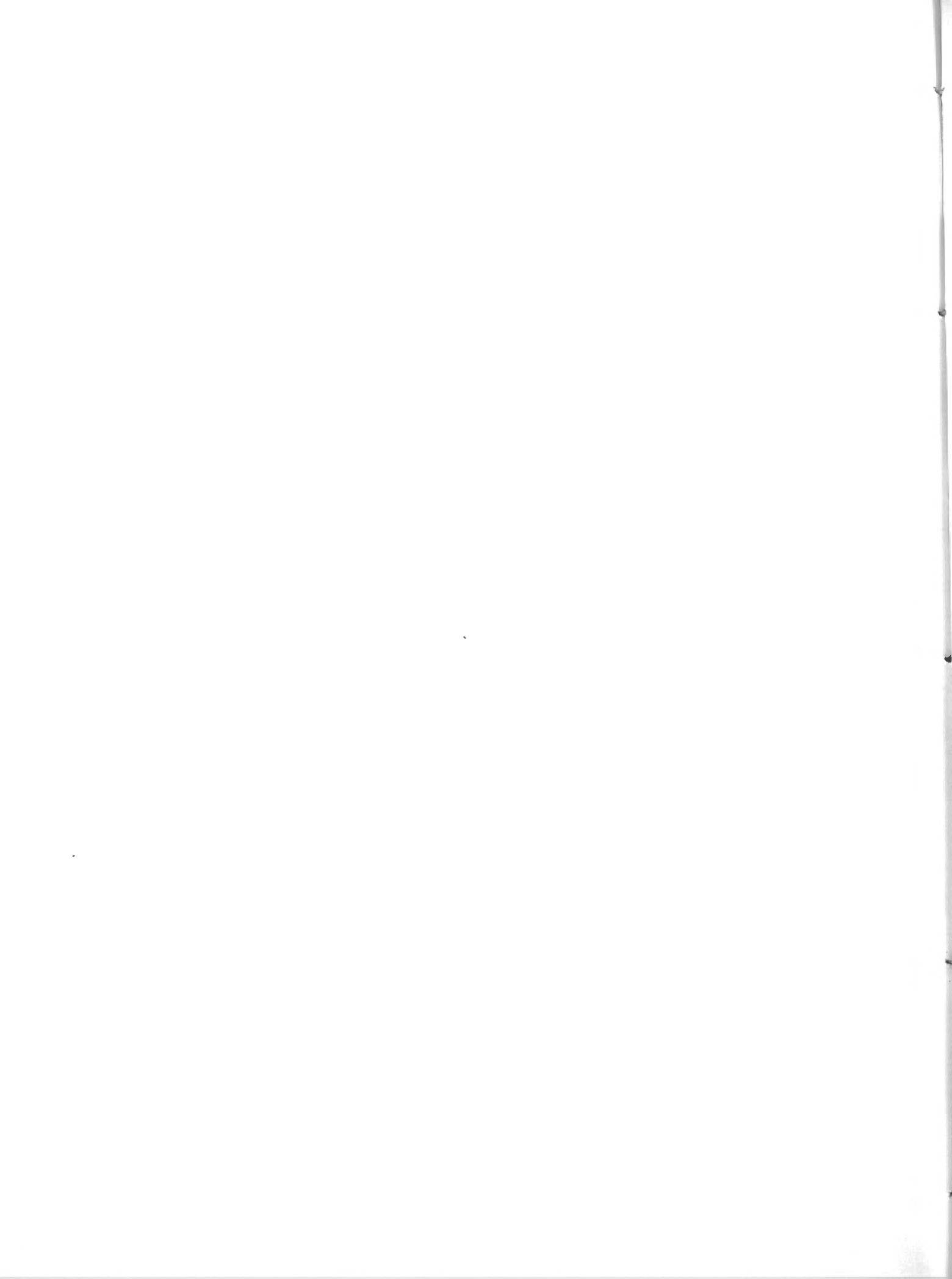


PLANCHE XVI

EXPLICATION DE LA PLANCHE XVI.

Fronts, palpes et antennes de *Tabanus* ♀♀.

FIG. 148. — *T. semenovi* OLSUFJEV (d'après OLSUFJEV, 1937).

FIG. 149. — *T. assuetus* GAUZER avec A : palpe et B : antenne du ♂ (d'après GAUZER, 1960).

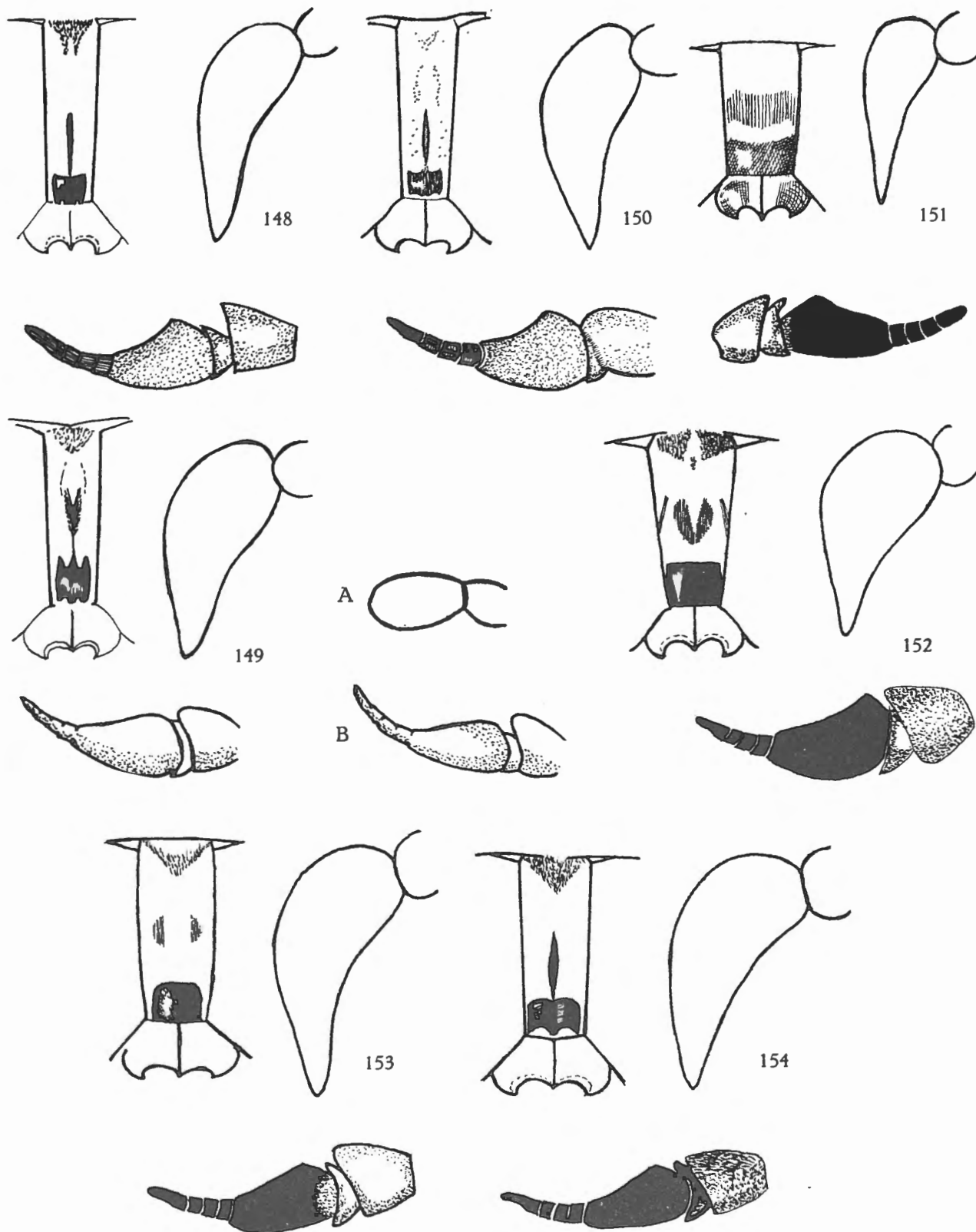
FIG. 150. — *T. assuetus cinereus* GAUZER (d'après GAUZER, 1960).

FIG. 151. — *T. brunneocallosus* OLSUFJEV (d'après OLSUFJEV, 1937).

FIG. 152. — *T. cordiger* MEIGEN (d'après OLSUFJEV, 1937).

FIG. 153. — *T. golovi* OLSUFJEV (d'après OLSUFJEV, 1937).

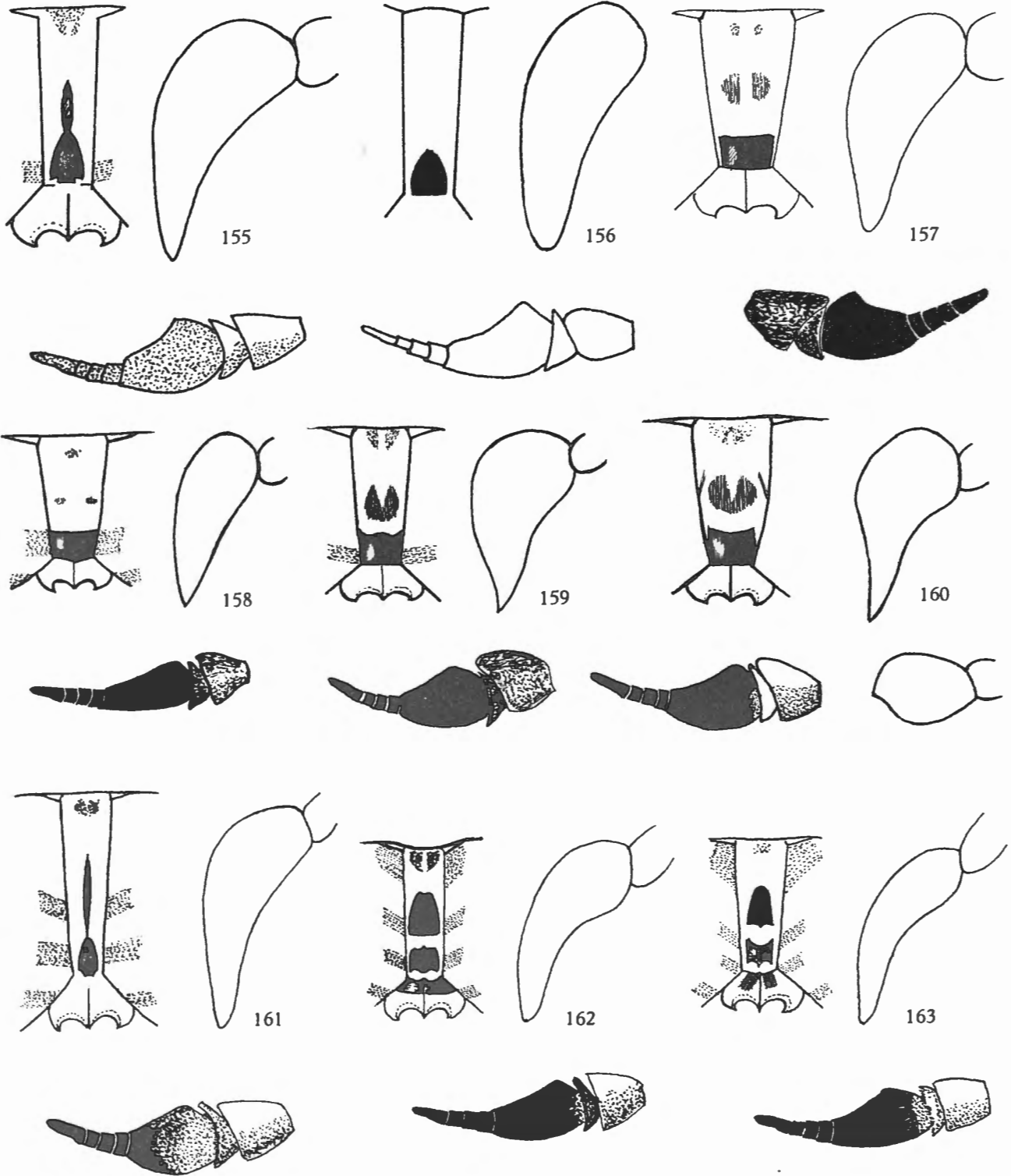
FIG. 154. — *T. rupium* BRAUER (d'après OLSUFJEV, 1937).



EXPLICATION DE LA PLANCHE XVII.

Fronts, palpes et antennes de *Tabanus* ♀♀.

- FIG. 155. — *T. maculicornis* ZETTERSTEDT (d'après OLSUFJEV, 1937).
FIG. 156. — *T. hadjinicolaoui* KRÖBER (d'après KRÖBER, 1936).
FIG. 157. — *T. filipjevi* OLSUFJEV (d'après OLSUFJEV, 1937).
FIG. 158. — *T. zimini* OLSUFJEV (d'après OLSUFJEV, 1937).
FIG. 159. — *T. unifasciatus* LOEW (d'après OLSUFJEV, 1937).
FIG. 160. — *T. leleani* AUSTEN avec palpe du ♂ (d'après OLSUFJEV, 1937).
FIG. 161. — *T. tergestinus* EGGER (d'après OLSUFJEV, 1937).
FIG. 162. — *T. quatuornotatus* MEIGEN (d'après OLSUFJEV, 1937).
FIG. 163. — *T. caucasicus* KRÖBER (d'après OLSUFJEV, 1937).
-



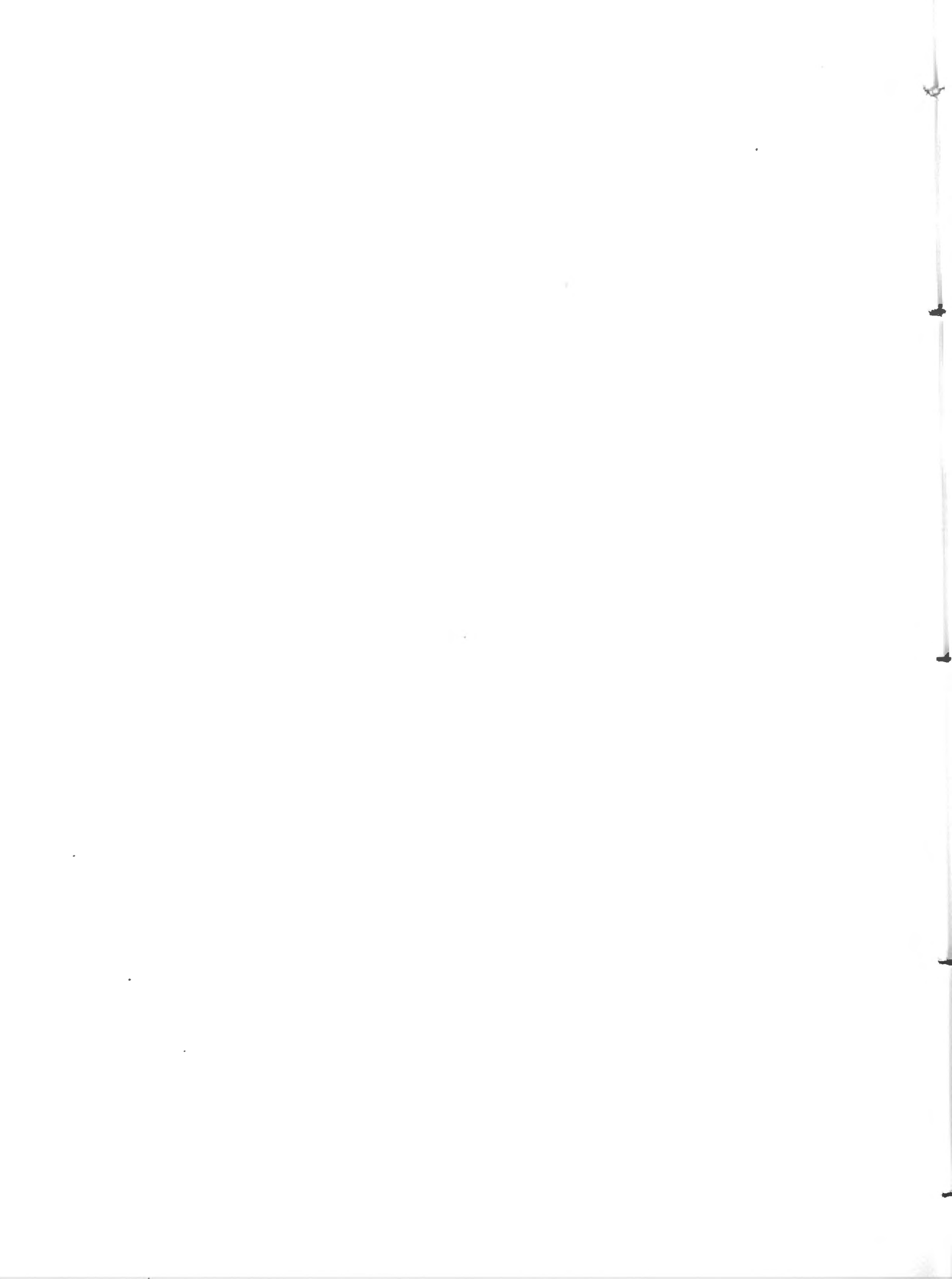
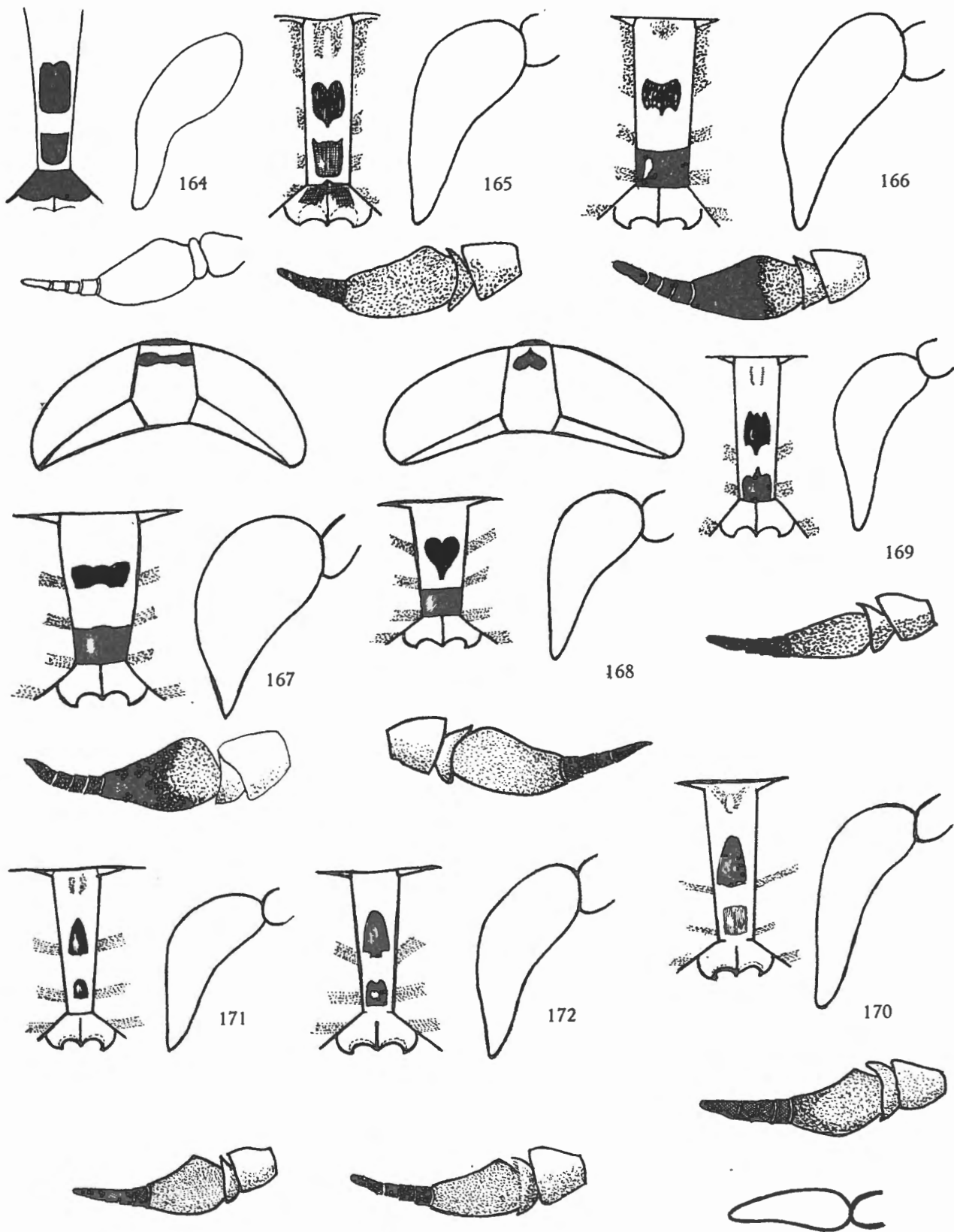


PLANCHE XVIII

EXPLICATION DE LA PLANCHE XVIII.

Fronts, palpes et antennes de *Tabanus* ♀ ♀.

- FIG. 164. — *T. shannonellus* KRÖBER (d'après KRÖBER, 1936).
FIG. 165. — *T. glaucopis* MEIGEN (d'après OLSUFJEV, 1937).
FIG. 166. — *T. mistshenkoi* OLSUFJEV (d'après OLSUFJEV, 1937).
FIG. 167. — *T. sabuletorum* LOEW (d'après OLSUFJEV, 1937).
FIG. 168. — *T. subsabuletorum* OLSUFJEV (d'après OLSUFJEV, 1937).
FIG. 169. — *T. accipiter* SZILADY (d'après OLSUFJEV, 1937).
FIG. 170. — *T. bifarius* LOEW avec palpe du ♂ (d'après OLSUFJEV, 1937).
FIG. 171. — *T. lunatus* FABRICIUS (d'après OLSUFJEV, 1937).
FIG. 172. — *T. lunatus bactrianus* OLSUFJEV (d'après OLSUFJEV, 1937).
-



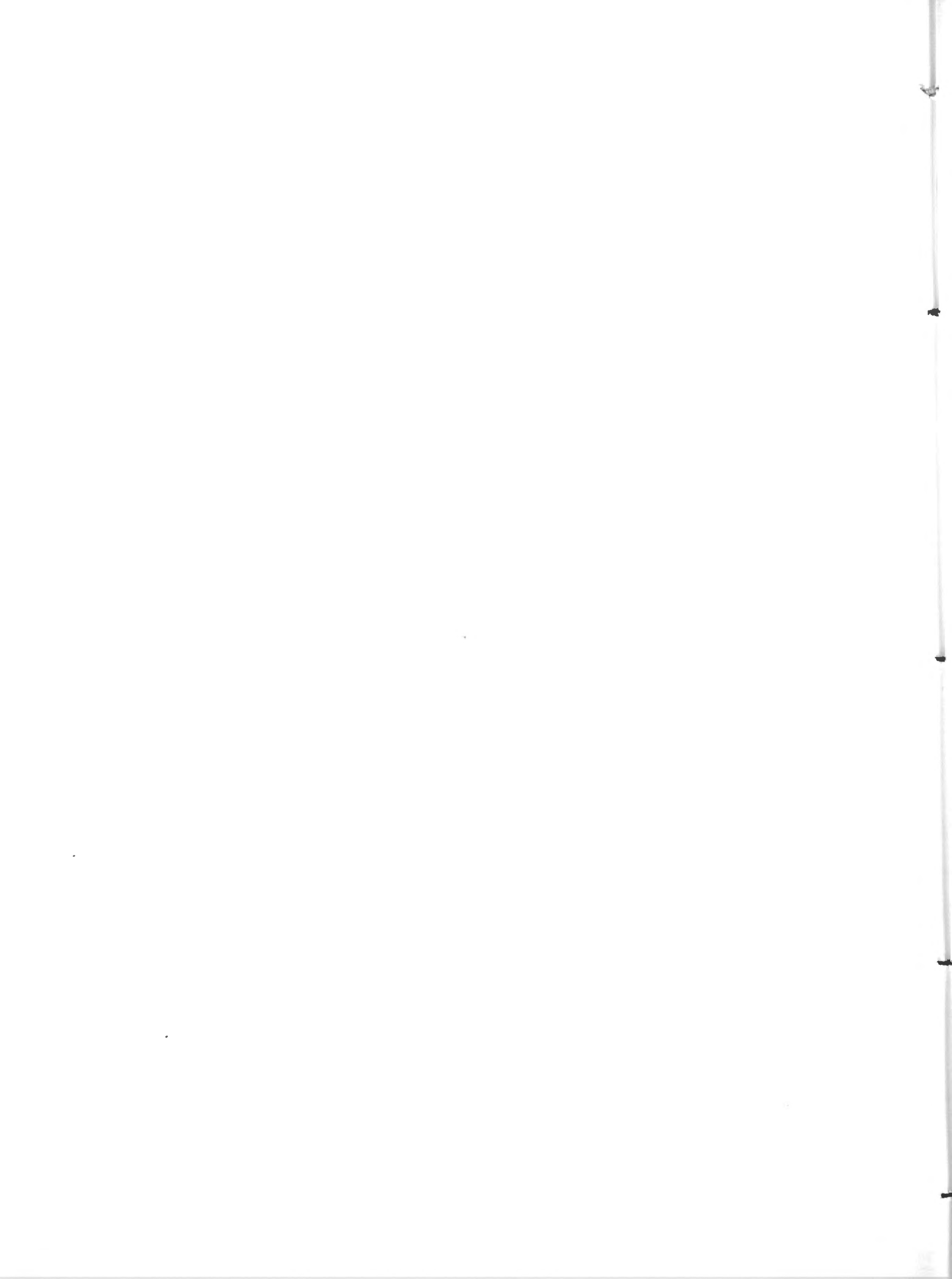
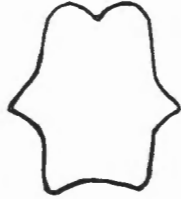
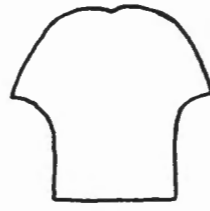
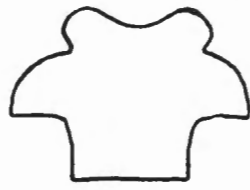
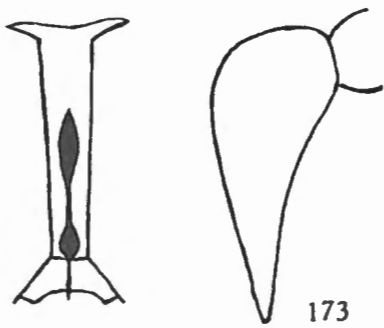


PLANCHE XIX

EXPLICATION DE LA PLANCHE XIX.

- FIG. 173. — Front, palpe et antenne de *T. darimonti* LECLERCQ ♀.
Génitalia de *Hybomitra* ♀ ♀ : sternite 8, gonopophyse antérieure et lamelle anale :
- FIG. 174. — Type I : *H. micans* MEIGEN.
- FIG. 175. — Type II : *H. tropica tropica* PANZER.
- FIG. 176. — Type III : *H. auripila* MEIGEN.
- FIG. 177. — Type IV : *H. distinguenda* VERRALL.
- FIG. 178. — Type V : *H. mühlfeldi* BRAUER.
-



D/1986/0339/6

